

یک رویکرد جدید به منظور خوشبندی سری‌های زمانی با استفاده از ترکیب زیرسری‌های زمانی

علی قربانیان (دانشجوی دکتری)

حمیده رضوی* (دانسیار)

گروه مهندسی صنایع، دانشکده مهندسی، دانشگاه فردوسی مشهد

خوشبندی سری‌های زمانی فلزیندی است که سری‌های زمانی را با توجه به خصوصیات آن‌ها گروه‌بندی می‌کند. در پژوهش‌های پیشین به شباخت موجود بین قطعات یک سری زمانی به منظور خوشبندی کمتری شده است. در این مقاله یک رویکرد جدید دومرحله‌ای بر اساس قطعه‌بندی سری زمانی و خوشبندی ترکیبی ارائه شده است. در مرحله اول یک مجموعه داده سری زمانی با استفاده از اندازه پنجره ثابت قطعه‌بندی شده و هر قطعه به طور جداگانه خوشبندی شده است. سپس با استفاده از معیارهای درونی، بهترین نتایج حاصله انتخاب شده است. در مرحله دوم نتایج حاصل از مرحله اول با استفاده از خوشبندی ترکیبی، پردازش شده و برچسب نهایی خوشبندی حاصل شده است. نتایج الگوریتم ارائه شده نشان‌دهنده افزایش کارایی خوشبندی به میزان ۲/۹۲ درصد و رسیدن به عدد ۶۷/۲۵ می‌باشد. همچنین بررسی عملکرد الگوریتم با بهترین نتایج ادبیات نیز نشان‌دهنده بهترین کارایی با حداقل هزینه زمانی می‌باشد.

ali.ghorbanian@mail.um.ac.ir
h-razavi@um.ac.ir

واژگان کلیدی: سری‌های زمانی، خوشبندی، قطعه‌بندی، خوشبندی ترکیبی.

۱. مقدمه و مرور ادبیات

هدف از این کار شناخت الگوهای رفتاری مصرف‌کنندگان به منظور مدیریت مصرف متقاضیان در زمان‌های مختلف است. همچنین، به منظور کشف الگوهای مشابه در حوزه سلامت مانند همه‌گیری کوید - ۱۹ نیز این تکنیک استفاده می‌گردد.^[۱] به صورت غیرمستقیم نیز خوشبندی سری‌های زمانی به منظور پیش‌بینی این نوع داده مورد استفاده قرار می‌گیرد. در واقع تحقیقات نشان داده است که پیش‌بینی سری‌های زمانی در خوشبندی‌های یکسان می‌تواند نتایج بهتری را داشته باشد.

خوشبندی سری زمانی شامل سه نوع خوشبندی، خوشبندی سری زمانی کل، خوشبندی توالی و خوشبندی نقطه‌ای می‌باشد. در خوشبندی سری زمانی کل برخلاف دو نوع دیگر مجموعه از سری‌های زمانی با توجه به معیارهای مشابه مانند داشتن کمترین فاصله از یکدیگر در گروه‌های مختلف قرار می‌گیرند. از روش‌های خوشبندی سری‌های زمانی می‌توان روش‌های نیمه نظارت شده،^[۲] رویکردهای ترکیب و چنگل تصادفی،^[۳] ترکیب روش‌های خوشبندی بر مبنای فاصله و چگالی،^[۴] استفاده از روش‌های خوشبندی وزنی^[۵] و استفاده از شبکه‌های عصبی و رویکردهای یادگیری عمیق اشاره نمود.^[۶] در این تحقیق از روش خوشبندی سری زمانی کل

خوشبندی سری‌های زمانی در علوم مختلفی مانند ستاره‌شناسی، بیولوژی و آب و هوای استفاده می‌گردد. این نوع خوشبندی مانند خوشبندی سایر داده‌ها یک نوع یادگیری بدون نظرات می‌باشد که در آن اطلاعی از برچسب اشیا موجود نمی‌باشد. برچسب‌ها اعدادی هستند که از فرایند خوشبندی حاصل گشته و نشان‌دهنده سری‌های زمانی قرارگرفته در یک خوشبندی می‌باشند. تعریف معیارهای فاصله‌ای متناسب برای سری‌های زمانی، موضوع پژوهش‌های متعددی بوده است. علت آن است که با توجه به ماهیت داده‌های سری زمانی، معیارهای فاصله‌ای ویژه‌ای مورد نیاز است. دقت خوشبندی و زمان اجرای الگوریتم، دو چالش اصلی در خوشبندی سری‌های زمانی می‌باشد. خوشبندی سری‌های زمانی می‌تواند به صورت مستقیم و یا غیرمستقیم در صنایع و خدمات مورد استفاده قرار گیرد. یکی از کاربردهای اصلی خوشبندی سری‌های زمانی کشف الگوهای رفتاری در مورد تقاضا مصرف به عنوان نمونه در حوزه انرژی الکتریکی، مصرف گاز طبیعی، مصرف آب و غیره

* نویسنده مسئول

تاریخ: دریافت ۲۵/۱/۳، اصلاحیه ۲۸/۱/۸، پذیرش ۲۱/۹/۱۴۰۱.

استناد به این مقاله:

قربانیان، علی و رضوی، حمیده. ۱۴۰۳. یک رویکرد جدید به منظور خوشبندی سری‌های زمانی با استفاده از ترکیب زیرسری‌های زمانی. مهندسی صنایع و مدیریت شریف، ۴۰(۲)، صص. ۱۲۷-۱۴۰. DOI:10.24200/J65.2022.60405.2303

همبستگی مرتبه اول، خطی بودن، انحنای، فصلی بودن، نقطه اوج و فورفتگی اشاره نمود.^[۲۶] به عنوان مثال زو و همکاران به منظور استخراج مشخصه‌های سری زمانی از تبدیل سه نوع گراف بازگشته‌ی پدیداری و شبکه‌های انتقال استفاده نمودند.^[۲۷] داسیلووا با استخراج مشخصه‌های متوسط درجه، متوسط طول مسیر، تعداد اجتماعات، ضریب خوشبندی و چگالی، از تبدیل سری زمانی به سه نوع گراف NVG، HVG و QG جهت خوشبندی استفاده کرده است.^[۲۸] همچنین فریرا و ژاوه به منظور خوشبندی یک مجموعه داده از دو رویکرد k-NN و ε-NN به منظور تبدیل مجموعه داده به یک شبکه پیچیده بدون وزن استفاده نمودند.^[۲۹] استفاده از این رویکرد اگرچه موجب کاهش زمان محاسبات می‌گردد اما دقت خوشبندی را کاهش می‌دهد.

مطالعات اخیر نشان داده است که قطعه‌بندی یک سری زمانی می‌تواند نقش مهمی در افزایش دقت خوشبندی سری‌های زمانی داشته باشد. به عنوان مثال، گویجو و همکاران در مرحله اول یک سری زمانی را قطعه‌بندی نموده و در مرحله بعد با توجه به خصوصیات آماری هر یک از قطعه‌های ایجاد شده، مشخصه‌های آن‌ها را استخراج نموده‌اند. سپس از مشخصات استخراج شده به منظور خوشبندی نهایی استفاده کرده‌اند.^[۳۰] همچنین بوناسینا و همکاران به منظور خوشبندی از ترکیب رویکردهای تبدیل سری زمانی به شبکه و قطعه‌بندی، استفاده نموده‌اند.^[۳۱] عملکرد مناسب الگوریتم‌های ارائه شده بر مبنای قطعه‌بندی جایگاه آن را در مباحث خوشبندی را تشییت نموده است.

در پژوهش‌های پیشین در بیشتر موارد به منظور بهبود کارایی خوشبندی یک مجموعه داده سعی بر استفاده از معیارهای فاصله جدید و یا الگوریتم‌های جدید در حوزه یادگیری ماشین بوده است. اما نتایج ارائه شده نشان داده است که معمولاً معیارهای فاصله‌ای جدید مورد استفاده، می‌توانند بسیار زمان بر باشند و استفاده عملی از این نوع معیارهای فاصله کاربردی نمی‌باشد. همچنین نتایج حاصل از این پژوهش‌ها نشان داده است که استفاده از الگوریتم‌های خاص شاید بتواند در بعضی از مجموعه داده‌ها، نتایج ملهمی داشته باشد، اما این مورد همه مجموعه داده‌ها جامعیت ندارد. با توجه به پژوهش‌های انجام‌گرفته در حوزه داده‌کاوی می‌توان به نقش مهم خوشبندی ترکیبی در افزایش کارایی خوشبندی در داده‌های مختلف اشاره نمود، اما در هیچ‌کدام از پژوهش‌های انجام‌گرفته در حوزه سری‌های زمانی این تکنیک مورد توجه قرار نگرفته است. همچنین پژوهش‌های اخیر نشان داده است که زیرسری‌های ایجاد شده با استفاده از قطعه‌بندی یک سری زمانی می‌تواند دارای اهمیت فراوانی به منظور خوشبندی یک مجموعه داده باشد. با توجه به موارد اشاره شده هدف از این پژوهش ارائه یک الگوریتم با کارایی بالا و سریع به منظور خوشبندی یک مجموعه داده سری زمانی می‌باشد. در همین راستا در تحقیق فوق نشان داده‌ایم که لزوماً همه قطعات ایجاد شده در یک مجموعه داده سری زمانی نمی‌تواند نماینده خوبی به منظور استفاده در خوشبندی نهایی باشد، برای رفع این مسئله نشان داده‌ایم که می‌توان ابتدا با استفاده از معیارهای درونی بهترین قطعات ایجاد شده را انتخاب نمود و با استفاده از بهترین قطعات ایجاد شده و خوشبندی ترکیبی این قطعات، یک الگوریتم سریع و دقیق به منظور خوشبندی داشته باشیم.

در این مقاله، با توجه به نقش مهم قطعه‌بندی سری‌های زمانی به منظور خوشبندی، دو الگوریتم خوشبندی بر مبنای قطعه‌بندی و خوشبندی ترکیبی ارائه شده است. الگوریتم‌های ارائه شده دارای سه گام اصلی قطعه‌بندی، خوشبندی و خوشبندی را کاهش دهنده.^[۳۲] همچنین وانگ و همکاران نیز با استفاده از یک شبکه و وزن دار جهت در یک الگوریتم دو مرحله‌ای، پیچیدگی مسئله خوشبندی را کاهش داده‌اند.^[۳۳]

استفاده می‌شود که در آن یک مجموعه از سری‌های زمانی با توجه به معیارهای مشابه خوشبندی می‌گردد.^[۳۴]

یکی از راهکارهایی که به منظور افزایش دقت خوشبندی مورد توجه قرار گرفته است، استفاده از معیارهای فاصله‌ای مخصوص سری‌های زمانی می‌باشد. معمولاً معیارهای فاصله‌ای متفاوتی برای سری‌های زمانی با توجه به ماهیت این نوع داده‌ها استفاده می‌گردد. تعدادی از رایج‌ترین معیارهای فاصله عبارت است از هاسدورف، همینگ، DTW،^۱ اقلیدسی و LCSS.^۲

در مطالعات قبلی دو رویکرد شامل تعریف، بهبود و ترکیب معیارهای فاصله موردنظر قرار گرفته است.^[۳۵-۳۶] در رویکرد اول با معرفی معیار فاصله جدید و یا بهبود معیارهای موجود سعی در بهبود خوشبندی داشته‌اند. اگرچه توسعه معیارهای فاصله‌ای جدید، بهبود و یا ترکیب آن‌ها می‌تواند تا حدودی دقت خوشبندی این نوع داده‌ها را افزایش دهد اما هزینه زمانی (زمان اجرای الگوریتم) زیادی را نیز در بردارد.

منظور از دقت خوشبندی شاخص‌های بیرونی خوشبندی مانند خلوص، شاخص رند^۳ و آتروپی می‌باشد.^[۳۷] به عنوان مثال در پژوهشی که توسط رحیم خان و ذکریا با ارائه یک الگوریتم مناسب به منظور معیار LCSS انجام شد تا حدود ۵۰ درصد زمان محاسبات کاهش یافت ولی هم‌زمان باعث کاهش دقت گردید.^[۳۸] به همین دلیل، سلیمانی و عابسی با تغییر این معیار به صورت فازی دقت خوشبندی را بهبود بخشیده‌اند ولی در روش ایشان زمان افزایش یافته است.^[۳۹] همچنین کمال زاده و همکاران یک معیار فاصله جدید به منظور خوشبندی سری‌های زمانی با طول بلند با استفاده از روابط هندسی تعریف کرده‌اند.^[۴۰] برای سری‌های زمانی با طول متفاوت، وانگ و همکاران از یک معیار فاصله بر مبنای اختلاف سطح زیر منحصري دو سری زمانی استفاده نموده‌اند.^[۴۱] در مطالعات دیگر در همین راستا با معرفی معیار WDTW^۴، MP^۵ و MSCD^۶ دقت خوشبندی افزایش یافته است.^[۴۲]

در رویکرد دوم به منظور استفاده از مزایای هر یک از معیارهای فاصله نظری DTW^۷ و DDTW^۸ از ترکیب این معیارها به منظور افزایش دقت خوشبندی استفاده شده است.^[۴۳-۴۵] منظور از این مزایا شناسایی نقاط برت و همچنین شناسایی دقت خوشبندی را افزایش می‌دهد به دلیل افزایش حجم محاسبات، زمان بیشتری صرف می‌کند. به عنوان نمونه استفاده از معیار DDTW به منظور خوشبندی ۸۴ مجموعه داده، زمانی نزدیک به ۸۰ ساعت برای هر مجموعه داده در برداشته است در حالی که متوسط شاخص رند برای هر مجموعه داده نیز برابر با ۶۰ می‌باشد.^[۴۶] علیرغم زمان اجرای طولانی، مشاهده می‌گردد که دقت خوشبندی نیز افزایش چشمگیری نداشته است بنابراین، در این پژوهش از فاصله اقلیدسی استفاده می‌گردد. به منظور برخورد با چالش هزینه زمانی نیز چندین روش مورد توجه قرار گرفته است. روش اول، استفاده از الگوریتم‌های چند مرحله‌ای به منظور کاهش حجم مجموعه داده و روش دوم از مشخصه‌های سری‌های زمانی به عنوان متغیرها برای خوشبندی می‌باشد. به عنوان نمونه در روش اول آقابرگی و همکاران، با استفاده از یک الگوریتم خوشبندی در فاز اول توانستند زمان خوشبندی را کاهش دهنده.^[۴۷] همچنین وانگ و همکاران نیز با استفاده از یک شبکه و وزن دار جهت در یک الگوریتم دو مرحله‌ای، پیچیدگی مسئله خوشبندی را کاهش داده‌اند.^[۴۸]

مانکو و تاچکو با بهکارگیری معیار هابکیز و سیستم نمونه‌گیری، یک الگوریتم دو مرحله‌ای را توسعه داده‌اند.^[۴۹] در روش دوم، از مشخصه‌های سری زمانی به منظور خوشبندی استفاده می‌شود. این مشخصه‌ها می‌توانند به صورت مستقیم از سری زمانی استخراج گردد. از جمله مشخصه‌های پرکاربرد می‌توان به معیارهای واریانس،

رنگ سبز و آبی مشخص شده است، مشاهده می‌شود که قطعات شماره ۱ و ۴ خوشه‌بندی را به خوبی نمایش نمی‌دهند درحالیکه قطعات شماره ۲ و ۳ خوشه‌ها به خوبی متایز شده‌اند. با توجه به شکل اگر به توان در خوشه‌بندی مجموعه‌داده از قطعاتی که خوشه‌بندی را به درستی نمایش داده‌اند استفاده نمود نتایج خوشه‌بندی کل مجموعه‌داده بهبود خواهد داشت، به همین سبب استفاده از خوشه‌بندی قطعات و ترکیب آن‌ها می‌تواند نتایج دقیق‌تری داشته باشد.

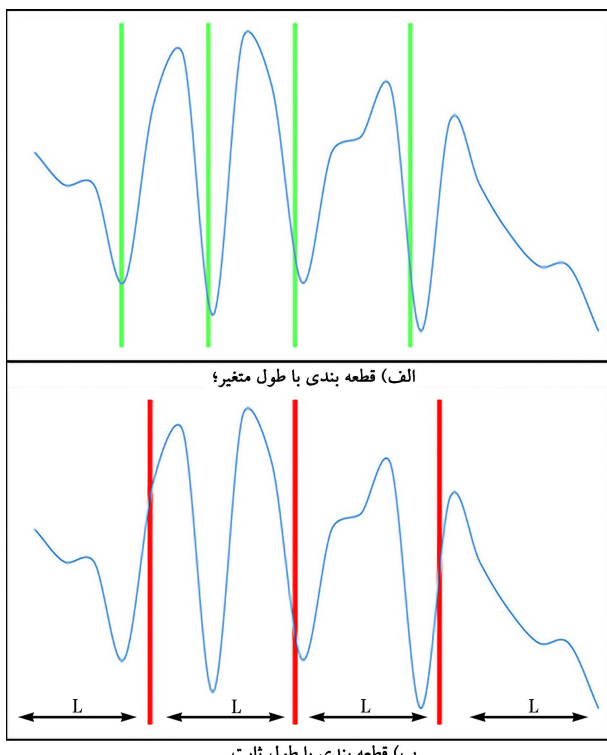
۱. قطعه‌بندی

قطعه‌بندی، یکی از روش‌های تحلیل سری‌های زمانی می‌باشد که در آن به دو روش متفاوت می‌توان توالی از زیرسری‌ها را ایجاد نمود. منظور از توالی از زیرسری‌ها، سری‌های زمانی با ابعاد کوچک‌تر از سری زمانی اصلی می‌باشند که در کنار یکدیگر تشکیل شده باستفاده از قطعه‌بندی در شکل ۱ چهار زیرسری متفاوت شده باشند که در گام بعدی با استفاده از الگوریتم‌های مخصوصی می‌توانند

در روش اول یک سری زمانی با استفاده از الگوریتم‌های مخصوصی می‌توانند به زیرمجموعه‌هایی با طول‌های غیر یکسان تبدیل گردند.^[۲۵] شکل ۳ (الف) این نوع قطعه‌بندی را نمایش می‌دهد. در روش دوم که در این پژوهش نیز مورد استفاده قرار گرفته است ابتدا پنجره‌ای به طول L تعریف گردیده و سپس سری زمانی به زیرمجموعه‌هایی با طول‌های برابر با L تقسیم می‌گردد.^[۲۶] شکل ۳ (ب) این نوع قطعه‌بندی را نمایش می‌دهد.

۲. خوشه‌بندی قطعات ایجادشده

الگوریتمی که به منظور خوشه‌بندی قطعات ایجادشده در گام اول مورد استفاده قرار



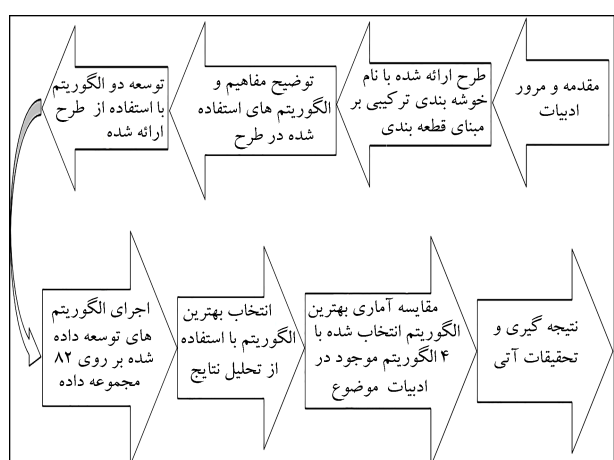
شکل ۳. انواع مختلف قطعه‌بندی سری زمانی.

شکل ۱ فلوچارت کلی روش پژوهش را نمایش می‌دهد. بعد از مقدمه و مرور ادبیات طرحی بنام خوشه‌بندی ترکیبی بر مبنای قطعه‌بندی ارائه می‌شود، سپس مفاهیم و الگوریتم‌های استفاده شده در طرح به صورت کامل توضیح داده می‌شود. در گام بعدی با توجه به طرح ارائه شده دو الگوریتم توسعه می‌یابد. در مرحله بعد الگوریتم‌های مورد نظر روی چندین مجموعه‌داده اجرا می‌گردد و با توجه به معیارهای مختلف مانند کارایی و زمان بهترین الگوریتم انتخاب می‌گردد. به منظور بررسی کارایی الگوریتم انتخاب شده نتایج آن با ۴ الگوریتم موجود در ادبیات با استفاده از تست آماری مقایسه می‌گردد. در انتها نیز نتیجه‌گیری و مطالعات پیش رو بیان می‌گردد.

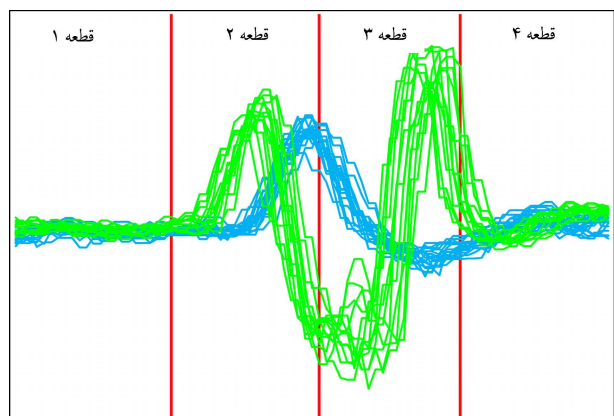
۲. خوشه‌بندی ترکیبی بر مبنای قطعه‌بندی

در مدل این پژوهش به جای این که یک مجموعه‌داده سری زمانی به صورت مستقیم خوشه‌بندی گردد، ابتدا این مجموعه‌داده به قطعات مساوی تبدیل شده و سپس هر قطعه ایجادشده به صورت جداگانه خوشه‌بندی می‌گردد. در پایان نیز با استفاده از الگوریتم‌های خوشه‌بندی ترکیبی نتایج بدست آمده از قطعات مختلف با یکدیگر ترکیب می‌گردد. الگوریتم دارای سه گام اصلی شامل قطعه‌بندی با اندازه ثابت، خوشه‌بندی هر یک از قطعات ایجادشده و ترکیب نتایج حاصل شده می‌باشد.

شکل ۲ یک مجموعه‌داده سری زمانی با دو خوشه را نمایش می‌دهد که با



شکل ۱. فلوچارت روش پژوهش.



شکل ۲. قطعه‌بندی یک سری زمانی.

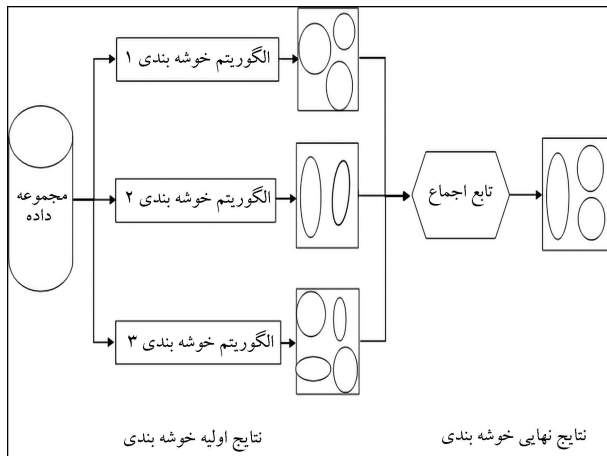
جدول ۱. معیارهای درونی ارزیابی خوشبندی.

ردیف	معیار	نماد	راهنمایی	مقدار مطلوب
۱	واریانس بین گروهی ^۱	V		$\frac{1}{n-k} \sum_{i=1}^k \sum_{x \in c_i} dist(x, c_i)$
۲	دان ^۲	D	[۴۳]	$\min_i \left\{ \min_j \left(\frac{\min_{x \in c_i, y \in c_j} (dist(x, y))}{\max_k \max_{x, y \in c_k} (dist(x, y))} \right) \right\}$
۳	کالینسکی - هارباز ^۳	CH	[۴۴]	$\frac{n-k}{n-1} \frac{\sum_{i=1}^k n_i dist^r(x, c_i)}{\sum_{i=1}^k \sum_{x \in c_i} dist^r(x, c_i)}$

^۱Inter - Group Variance

^۲Dunns Indices

^۳Calinski - Harabasez



شکل ۴. خوشبندی ترکیبی.

۴.۲. معیارهای درونی

با توجه به اینکه در خوشبندی از برچسب هر یک از اشیا اطلاعی در دست نیست، معیارهای درونی می‌توانند اهمیت ویژه‌ای داشته باشند. هدف از این معیارها، ارزیابی ساختار خوشه‌های ایجاد شده براساس شباهت درون خوشه‌ای و تمايز بین خوشه‌ای می‌باشد. جدول ۱ سه معیار مورد استفاده در این پژوهش را نمایش می‌باشد. در این روابط n و k به ترتیب نشان‌دهنده تعداد اشیاء و خوشه‌ها می‌باشند، همچنین x و y نیز اشیاء خاص داخل خوشه c را نمایش می‌دهند.^[۴۵]

۵.۲

۵.۲. معیارهای بیرونی

معیارهای بیرونی با فرض مشخص بودن برچسب اشیاء بهمنظور بررسی دقیق الگوریتم مورد استفاده قرار می‌گیرند. در این مطالعه بهمنظور مقایسه با پژوهش‌های انجام‌گرفته از معیار بیرونی رند (RI) استفاده شده است که رابطه ۴ آن را نمایش می‌دهد.

$$RI = \frac{TP + TN}{TP + TN + FN + FP} \quad (4)$$

در رابطه ۴، TP نشان‌دهنده تعداد اشیاء می‌باشد که در کلاس و خوشه یکسانی قراردارند. TN تعداد اشیا هستند که در خوشه‌های متفاوت قراردارند و کلاس آن‌ها نیز متفاوت می‌باشد. FP نشان‌دهنده اشیایی می‌باشد که دارای خوشبندی متفاوت می‌باشند درحالی‌که کلاس آن‌ها یکسان باشد و سرانجام FN نشان‌دهنده تعداد اشیایی است که دارای خوشه یکسان و کلاس‌های متفاوت می‌باشند.

گرفته است از نوع سلسله مراتبی تجمیعی می‌باشد. در این الگوریتم از دو نوع فاصله دورترین (d_{max}) و میانگین (d_{mean}) برای فاصله بین خوشه‌ها بهمنظور پیوند استفاده شده است. روابط شماره ۱ و ۲ به ترتیب این دو نوع فاصله را نمایش می‌دهند. A و B نمایش‌دهنده خوشه‌ها و a و b اعضاء هر خوشه می‌باشند، همچنین d نشان‌دهنده فاصله بین دو عضو می‌باشد.^[۴۶]

$$d_{\text{max}} = \max \{ d(a, b) : a \in A, b \in B \} \quad (1)$$

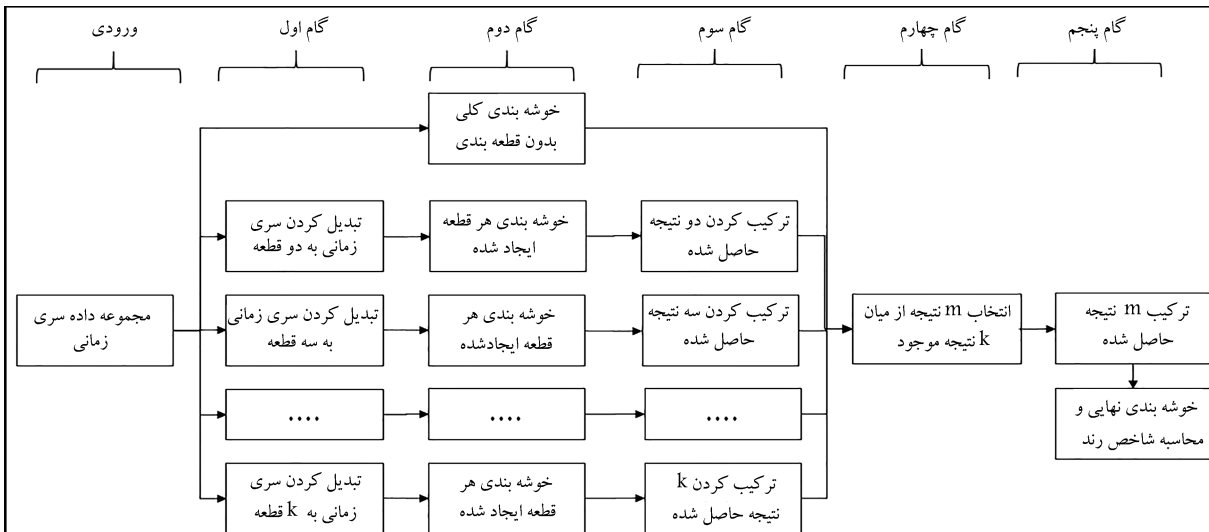
$$d_{\text{mean}} = \frac{1}{|A||B|} \sum_{a \in A} \sum_{b \in B} d(a, b) \quad (2)$$

بهمنظور محاسبه فاصله بین دو سری زمانی می‌توان از معیارهای فاصله‌ای متفاوتی از قبیل فاصله اقلیدسی، DTW و بزرگ‌ترین زیر دنباله مشترک (LCSS) استفاده نمود.^[۴۷-۴۸] با توجه به بالا بودن هزینه زمانی معیارهای LCSS و DTW در این پژوهش فاصله اقلیدسی استفاده شده است.^[۴۹-۵۰] اگر دو سری زمانی $X = \{x_t\}_{t=1}^n$ و $Y = \{y_t\}_{t=1}^n$ با طول N موجود باشد در این صورت فاصله اقلیدسی (ED) با رابطه ۳ قابل محاسبه می‌باشد. البته باید توجه داشت که این فاصله صرفاً هنگامی می‌تواند مورد استفاده قرار بگیرد که دو سری زمانی دارای طول یکسان باشند.^[۵۱]

$$ED(X, Y) = \sqrt{\sum_{t=1}^n (x_t - y_t)^2} \quad (3)$$

۳.۲. خوشبندی ترکیبی

خوشبندی ترکیبی یکی از موضوعات مطرح شده در حوزه خوشبندی می‌باشد که به ندرت در حوزه سری‌های زمانی مورد توجه قرار گرفته است. از آنجایی که همه روش‌های خوشبندی لزوماً برای یک مجموعه داده دارای نتایج مطلوب نمی‌باشد، لذا می‌توان به طور هم‌زمان از چند روش خوشبندی استفاده نمود. سپس با استفاده از تکنیک‌های مشخصی خوشبندی نهایی را انتخاب نمود. شکل ۴ یک نمایش کلی از این رویکرد را نشان می‌دهد.^[۵۲] خوشبندی ترکیبی شامل دو قسمت تولید و ترکیب می‌باشد. در قسمت تولید می‌توان از دو رویکرد همگن و ناهمگن جهت تولید برچسب‌های شامل مستقیم، مبتنی بر خصوصیات، تشابهات زوجی و رویکردهای مبتنی بر گراف تقسیم‌بندی نمود. در این پژوهش بهمنظور تولید برچسب‌های مختلف از قطعه‌بندی و در بخش ترکیب نیز از یک الگوریتم مبتنی بر گراف با نام LWGP استفاده شده است. در این روش ابتدا فاصله بین خوشه‌های ایجاد شده برای هر شیء محاسبه و سپس از این فواصل استفاده از یک الگوریتم خوشبندی بهمنظور برچسب نهایی هر یک از اشیا استفاده می‌گردد.^[۵۳]



شکل ۵. الگوریتم اول پیشنهادی.

تواند یک مقدار k مناسب را برای استفاده در الگوریتم ایجاد نماید. بنابراین، رابطه ۵ برای نحوه محاسبه مقدار k در این پژوهش به کارگرفته شده است. در این رابطه، L برابر با طول سری زمانی می‌باشد. با توجه به نتایج عددی به دست آمده برای پارامتر m ، مقادیر عددی ۲ یا ۳ مناسب به نظر می‌رسد.

$$k = \log_{10} L \quad (5)$$

برای انتخاب m برچسب از k برجسب نهایی برای هر سری زمانی، از معیارهای درونی ارزیابی خوشه‌بندی می‌توان استفاده نمود. البته از آنجایی که این معیارها نیز متنوع می‌باشند، می‌توان از سه معیار واریانس بین‌گروهی، کالینسکی – هارباز و شاخص دان که در ادبیات موضوع بیشتر مورداستفاده قرارگرفته‌اند، استفاده نمود. با توجه به اینکه استفاده از واریانس بین‌گروهی در الگوریتم اول برای نتیجه‌گیری کفایت می‌کند از معیارهای دیگر استفاده نشده است.

در الگوریتم اول صرفاً از یک معیار برای انتخاب m برچسب از k برجسب استفاده می‌گردد. الگوریتم اول پیشنهادی در شکل ۵ نمایش داده شده است.

۲.۶.۲. الگوریتم دوم توسعه داده شده

الگوریتم دوم نیز مانند الگوریتم اول دارای ۵ گام می‌باشد که سه گام نخست این الگوریتم نیز مانند الگوریتم اول می‌باشد. تفاوت این الگوریتم در گام سوم ایجاد می‌گردد که به نحوه انتخاب m نتیجه مرتبط می‌باشد. در گام چهارم این الگوریتم از سه معیار درونی معرفی شده در بخش ۱.۶.۲. به طور هم‌زمان به نظر انتخاب m نتیجه استفاده می‌گردد. در مرحله پنجم و نهایی نیز مطابق الگوریتم قبلی تعداد $3m$ برچسب نهایی ایجاد شده با استفاده از خوشه‌بندی ترکیبی با یکدیگر ترکیب می‌گردد. در مرحله نهایی در الگوریتم اول ما دارای m برچسب نهایی خواهیم بود اما در این الگوریتم تعداد برچسب‌ها $3m$ می‌باشد. باید توجه داشت که تعدادی از برچسب‌ها می‌تواند تکراری باشد. الگوریتم دوم در شکل ۶ نمایش داده شده است.

۳. اجرای مدل

به نظر بررسی کارایی الگوریتم‌های ارائه شده، این الگوریتم‌ها روی ۸۲ مجموعه داده

۲.۶. الگوریتم‌های پیشنهادی

در این پژوهش دو الگوریتم بر پایه قطعه‌بندی با اندازه ثابت و خوشه‌بندی ترکیبی به نظر خوشه‌بندی سری‌های زمانی ارائه شده است.

۲.۶.۱. الگوریتم اول توسعه داده شده

این الگوریتم دارای ۵ گام به شرح زیر می‌باشد.

گام اول. یک مجموعه‌داده سری زمانی به قطعات با طول مساوی تقسیم می‌گردد. تعداد قطعات بین ۲ تا k قطعه می‌باشد.

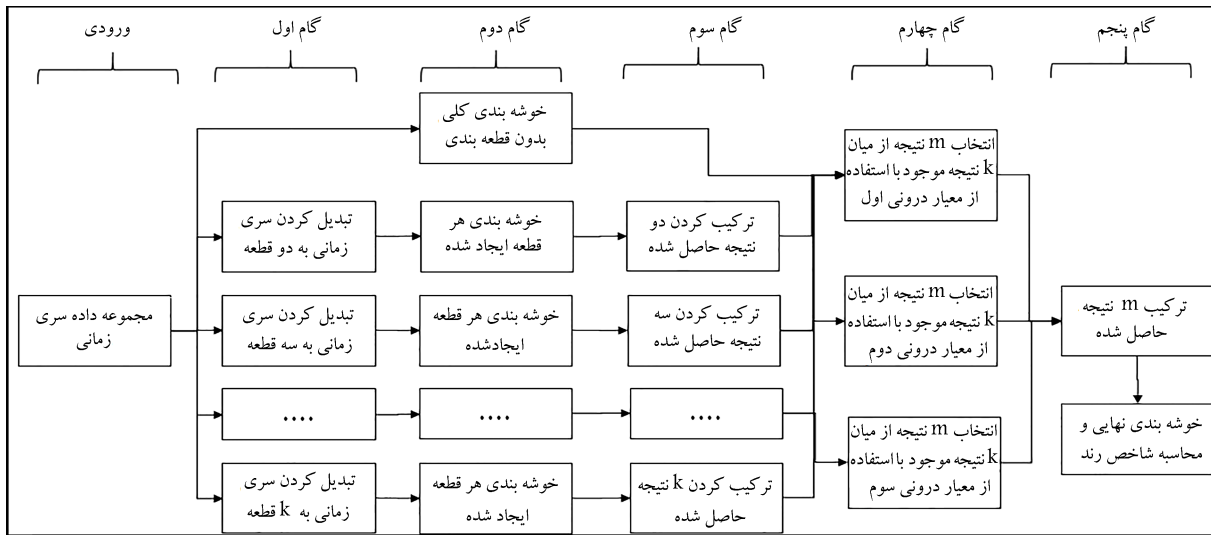
گام دوم. برای هر یک از قطعات ایجاد شده و برای هر مقدار k با استفاده از الگوریتم خوشه‌بندی سلسه مراتبی، خوشه‌بندی انجام می‌گیرد. در این گام با توجه به اینکه مجموعه‌داده سری زمانی به ۲ تا k قطعه تبدیل شده است، به ترتیب تعداد ۲ تا k برچسب خوشه‌بندی نیز وجود خواهد داشت.

گام سوم. در این گام نتایج خوشه‌بندی موجود با استفاده از یک الگوریتم خوشه‌بندی ترکیبی با یکدیگر ترکیب می‌گردد تا یک نتیجه واحد برای هر مرحله قطعه‌بندی از ۲ تا k قطعه ایجاد گردد. در پایان این گام، تعداد $1 - k$ برچسب خوشه‌بندی برای مجموعه‌داده سری زمانی وجود خواهد داشت. در انتهای این گام نتایج خوشه‌بندی مجموعه‌داده بدون قطعه‌بندی نیز به این تعداد اضافه می‌گردد و تعداد برچسب‌های موجود برابر با k خواهد بود.

گام چهارم. در ادامه با استفاده از یک معیار داخلی مشخص تعداد m برچسب از میان k برچسب ایجاد شده، انتخاب می‌شوند ($k \leq m$).

گام پنجم. در گام نهایی m برچسب حاصل شده جداً با استفاده از یک الگوریتم خوشه‌بندی ترکیبی با یکدیگر ترکیب می‌گردد و یک برچسب خوشه‌بندی نهایی حاصل می‌گردد.

انتخاب مقدار k و m می‌تواند تا حدودی پیچیده باشد اما به نظر می‌رسد می‌توان مقدار k را طوری انتخاب نمود که برای سری‌های زمانی طولانی، بزرگ نباشد و همچنین برای سری‌های زمانی با طول کوتاه نیز بتواند ساختار سری زمانی را برای قطعه‌ها حفظ نماید. با توجه به این موارد به نظر می‌رسد استفاده از یک رابطه لگاریتمی



شکل ۶. الگوریتم دوم پیشنهادی.

جدول ۲. پارامترهای الگوریتم‌های مختلف خوشبندی.

نوع	الگوریتم خوشبندی	نوع پیوند	تعداد معیار درونی	معیار درونی	مقدار پارامتر m
الگوریتم اول	وضعیت اول	میانگین	۱	واریانس بین گروهی	۱
	وضعیت دوم	میانگین	۱	واریانس بین گروهی	۳
	وضعیت سوم	حداکثر	۱	واریانس بین گروهی	۳
الگوریتم دوم	سالسه‌مراتبی - کالینسکی - هارباز و دان	حداکثر	۳	واریانس بین گروهی، سالسه‌مراتبی	۲

First Algorithm	Second Algorithm
<pre> Input: Time series dataset, m, k, internal measure Output: Best quality clustering, RI Clustering dataset without segmentation for each k do Apply time series segmentation for each segment do Cluster the segment end for Ensemble clustering all clustered segments end for Select m results from k results using an internal measure Ensemble clustering m selected results Evaluate the goodness of the clustering Return Best quality clustering, RI </pre>	<pre> Input: Time series dataset, m, k, internal measure Output: Best quality clustering, RI Clustering dataset without segmentation for each k do Apply time series segmentation for each segment do Cluster the segment end for Ensemble clustering all clustered segments end for for 3 internal measure do Select m results from k results using an internal measure end for Ensemble clustering 3m Selected results Evaluate the goodness of the clustering Return Best quality clustering, RI </pre>

شکل ۷. شبیه کد الگوریتم اول و دوم.

گزارش شده است. مجموعه داده‌ها با سایز بزرگ، زمان‌های اجرای طولانی در مقایسه با سایر مجموعه داده‌ها دارند.

جدول ۴ به صورت مختصر و با توجه به معیارهای مختلف عملکرد دو الگوریتم ارائه شده را نمایش می‌دهد. منظور از الگوریتم سالسه‌مراتبی می‌باشد. قطعه‌بندی با استفاده از الگوریتم سالسه‌مراتبی می‌باشد. با توجه به اطلاعات جدول ۴ می‌توان مشاهده نمود که در الگوریتم اول وضعیت اول شاخص رند ۵/۴۴ درصد نسبت به الگوریتم اولیه بهبود یافته است، همین‌طور

از آرشیو UCR اجرا شده است.^[۲۵] مجموعه داده موردنظر زمینه‌های مختلفی مانند سلامت، مالی، رسانه و مهندسی را پوشش می‌دهد. با توجه به اینکه مجموعه داده‌های موردنظر برای کلاس‌بندی سری‌های زمانی ارائه شده‌اند و دارای دو بخش آموزش و آزمون می‌باشند، برای خوشبندی با یکدیگر تجمعی شده‌اند. پارامترهای ورودی برای هر الگوریتم شامل الگوریتم خوشبندی استفاده شده، نوع پیوند، تعداد معیارهای درونی استفاده شده، معیار درونی استفاده شده، m و k می‌باشد. همچنین خروجی مدل نیز شامل سری‌های زمانی قرارگرفته در هر خوشبندی و همچنین شاخص رند نهایی می‌باشد.

شبیه کد الگوریتم اول و دوم توسعه داده شده شامل ورودی‌ها، خروجی‌ها و روند اجرای هر الگوریتم توسط شکل ۷ نمایش داده شده است. برای الگوریتم دوم یک وضعیت با توجه به پارامترهای مختلف درنظر گرفته شده است. جدول ۲ پارامترهای استفاده شده برای سه وضعیت الگوریتم اول و الگوریتم دوم نمایش می‌دهد. در تمام وضعیت‌ها به منظور خوشبندی قطعات از الگوریتم سلسله مراتبی استفاده شده است.

۱.۳. نتایج

به منظور بررسی الگوریتم‌های ارائه شده نتایج حاصل روی ۸۲ مجموعه داده معرفی شده مورد مقایسه قرارگرفته است. الگوریتم‌ها برای هر یک از مجموعه داده‌ها ۱۰ بار اجرا شده است و نتایج شاخص رند و زمان اجرا برای میانگین ۱۰ تکرار در جدول ۳

جدول ۳. نتایج شاخص رند و زمان اجرا برای دو الگوریتم ارائه شده.

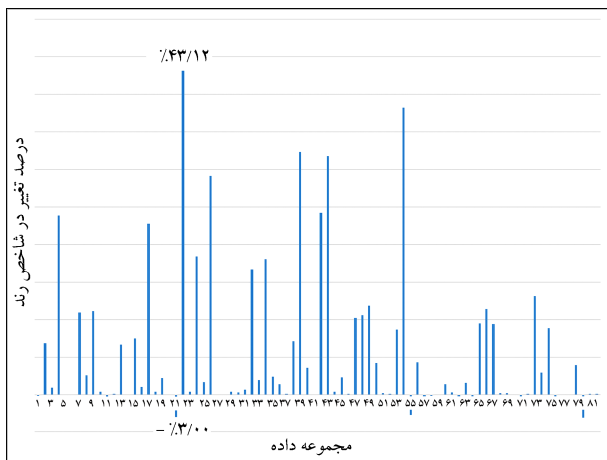
الگوریتم	زمان اجرا (ثانیه)				شاخص رند (%)				مجموع عدداده
	دوم	دوم	وضعیت سوم	الگوریتم اول	دوم	دوم	وضعیت سوم	الگوریتم اول	
۷/۴	۸,۳۴	۴,۱۳	۳,۳۷	۵۰,۸۰	۵۰,۱۰	۵۱,۳۰	۵۰,۰۰	۵۰,۰۰	ITA
۵,۶۲	۳,۵۷	۲,۰۸	۱,۹۴	۸۲,۰۰	۸۱,۳۰	۷۹,۰۰	۸۰,۵۰	۸۰,۵۰	SYN
۹,۹	۱۰,۵۹	۶,۲۲	۴,۹۵	۶۳,۸۰	۶۷,۵۰	۵۴,۳۰	۵۴,۳۰	۵۴,۳۰	SO۲
۴,۶۶	۳,۹۶	۲,۶۴	۲,۱۷	۵۰,۱۰	۵۲,۶۰	۵۰,۱۰	۴۹,۹۰	۴۹,۹۰	SO۱
۳,۶۴	۲,۸۱	۱,۸۳	۱,۷۱	۷۲,۹۰	۷۳,۷۰	۷۱,۲۰	۷۱,۲۰	۷۱,۲۰	DPA
۷,۱۳	۷,۸۶	۴,۹۲	۴,۳۱	۵۳,۵۰	۵۲,۴۰	۵۳,۰۰	۵۳,۰۰	۵۳,۰۰	DPC
۳,۲۲	۳,۱۸	۱,۸۷	۱,۵۸	۸۷,۸۰	۸۶,۳۰	۸۱,۵۰	۸۴,۳۰	۸۴,۳۰	DPT
۴,۹۲	۳,۱	۲,۲۳	۱,۷۴	۷۳,۰۰	۷۲,۸۰	۷۰,۵۰	۷۰,۴۰	۷۰,۴۰	MPA
۸,۷۳	۷,۴۹	۵,۴۱	۴,۴۱	۵۰,۰۰	۵۰,۰۰	۵۳,۲۰	۵۳,۳۰	۵۳,۳۰	MPC
۴,۸۷	۲,۹۸	۱,۷۲	۱,۵	۸۳,۸۰	۸۳,۹۰	۸۱,۸۰	۸۲,۳۰	۸۲,۳۰	MPT
۷۷,۶۲	۸۴,۶۹	۴۹,۴۵	۴۵,۱۶	۵۴,۲۰	۵۲,۱۰	۵۴,۰۰	۵۴,۰۰	۵۴,۰۰	PHA
۵,۷۷	۳,۵۷	۲,۱۹	۲,۲۶	۷۸,۹۰	۷۹,۷۰	۷۷,۳۰	۷۷,۴۰	۷۷,۴۰	PPA
۸,۱۹	۷,۳۷	۴,۹۶	۴,۳۷	۵۲,۱۰	۵۷,۶۰	۵۳,۸۰	۵۳,۹۰	۵۳,۹۰	PPC
۵,۰۲	۳,۷۵	۲,۰۵	۱,۸۶	۷۸,۶۰	۷۹,۸۰	۸۳,۸۰	۸۳,۹۰	۸۳,۹۰	PPT
۱۴,۰۳	۱۴,۴۴	۸,۰۴	۷,۰۵	۵۰,۳۰	۵۰,۱۰	۵۰,۰۰	۵۰,۱۰	۵۰,۱۰	TWE
۱۷,۴۸	۲۰,۹۹	۱۰,۸۲	۹,۷۱	۶۱,۸۰	۶۳,۱۰	۵۰,۳۰	۵۰,۳۰	۵۰,۳۰	MOT
۱,۰۵	۱,۱۳	۰,۷۵	۰,۶۶	۶۲,۳۰	۶۱,۲۰	۵۴,۰۰	۶۲,۳۰	۶۲,۳۰	EC۲
۲۱,۵۵	۱۵,۰	۱۰,۸۷	۱۰,۱۱	۶۳,۴۰	۶۴,۶۰	۶۱,۳۰	۶۰,۲۰	۶۰,۲۰	MED
۱۰,۹۴	۱۰,۵۵	۸,۹	۶,۲۵	۶۶,۰۰	۶۴,۷۰	۶۳,۱۰	۶۰,۶۰	۶۰,۶۰	CBF
۲۲,۴۲	۱۸,۶۷	۱۳,۶	۱۲,۰۶	۸۷,۲۰	۸۸,۷۰	۳۷,۹۰	۳۹,۰۰	۳۹,۰۰	SWE
۳۶۱,۴۶	۳۸۳,۸۵	۲۵۸,۳۶	۲۴۰,۷۳	۶۲,۸۰	۶۲,۹۰	۶۲,۱۰	۶۲,۶۰	۶۲,۶۰	TWP
۶۳,۱	۶۲,۱	۷۵,۵	۳۹,۶۳	۸۳,۳۰	۸۵,۰۰	۸۱,۶۰	۷۳,۷۰	۷۳,۷۰	FAA
۱۰,۵۵	۱۰,۷۷	۷,۹۵	۶,۵۳	۵۰,۰۰	۵۰,۰۰	۵۰,۰۰	۴۹,۹۰	۴۹,۹۰	ECF
۲۲۸,۳۳	۴۶۳,۸۳	۲۷۸,۷۱	۲۵۰,۰۶	۷۴,۱۰	۷۴,۶۰	۹۰,۶۰	۸۹,۶۰	۸۹,۶۰	EC۵
۲,۹۹	۱,۸۷	۱,۰۵	۱,۰۵	۹۴,۰۰	۹۴,۰۰	۹۲,۵۰	۹۲,۸۰	۹۲,۸۰	PLA
۱,۶	۱,۲۷	۱,۹۸	۰,۶۶	۵۳,۷۰	۴۹,۷۰	۵۰,۹۰	۴۹,۷۰	۴۹,۷۰	GUN
۱۵۷۱,۷۶	۱۳۹۵,۹۴	۶۱۸,۹۸	۵۸۰,۶۹	۵۳,۴۰	۵۳,۴۰	۵۳,۴۰	۵۳,۴۰	۵۳,۴۰	WAF
۲۸۱,۷۲	۲۹۰,۳۴	۲۰,۳۱	۲۱۰,۲۹	۵۳,۱۰	۵۲,۲۰	۵۱,۵۰	۵۰,۵۰	۵۰,۵۰	CHL
۱۱,۵۶	۱۱,۸۲	۸,۲۵	۷,۵۷	۹۲,۲۰	۹۲,۸۰	۴۸,۷۰	۴۷,۵۰	۴۷,۵۰	ADI
۹۹	۹۸	۵۵	۰	۶۶,۸۷	۶۷,۱۵	۶۲,۵۲	۶۲,۴۳	۶۲,۴۳	کوتاه
۵,۳۷	۳,۸۲	۲,۰۲	۰,۹۳	۴۹,۹۰	۴۹,۸۰	۴۹,۹۰	۴۹,۹۰	۴۹,۹۰	WIN
۲۴,۰۱	۲۲,۹۱	۱۵,۱۳	۱۳,۶۸	۵۰,۴۰	۵۰,۴۰	۵۱,۵۰	۵۱,۵۰	۵۱,۵۰	STR
۱,۸۹	۱,۸۷	۱,۰۷	۱,۱۷	۶۰,۰۵	۶۶,۸۰	۳۵,۳۰	۳۵,۸۰	۳۵,۸۰	ARR
۱۱۸,۸۷	۹۶,۶	۶۱,۴	۶۰,۳۲	۸۶,۸۰	۸۶,۰۰	۸۶,۸۰	۸۶,۵۰	۸۶,۵۰	INS
۳۲,۸۵	۲۲,۶۳	۹,۴۲	۱۰,۲۳	۹۴,۵۰	۹۴,۶۰	۹۴,۴۰	۹۴,۶۰	۹۴,۶۰	W۵۰
۵۴,۰۸	۱۹,۹۲	۱۴,۰۳	۱۱,۸۶	۸۸,۶۰	۸۸,۷۰	۸۷,۶۰	۸۳,۹۰	۸۳,۹۰	WOS
۳,۲۴	۱,۹۲	۳,۱۶	۱,۱۸	۷۵,۱۰	۷۵,۰۰	۷۴,۹۰	۷۵,۰۰	۷۵,۰۰	TRA
۳,۰۶	۲,۳۱	۱,۵۳	۱,۳۶	۵۰,۰۰	۴۹,۹۰	۵۰,۱۰	۴۹,۹۰	۴۹,۹۰	TO۱
۰,۸۶	۰,۹۶	۱,۰۷	۰,۶۵	۷۹,۵۰	۷۰,۱۰	۴۹,۱۰	۴۹,۸۰	۴۹,۸۰	COF
۱۴,۷۹	۱۳,۲۹	۹,۴	۹,۴۸	۸۳,۴۰	۸۱,۶۰	۷۷,۹۰	۷۱,۲۰	۷۱,۲۰	CRX
۱۷,۲۶	۱۳,۱۵	۹,۹۲	۹,۳۲	۸۴,۰۰	۸۲,۴۰	۷۷,۴۰	۷۷,۴۰	۷۷,۴۰	CRY
۱۵,۷	۱۳,۴۸	۹,۳۵	۸,۴۸	۸۴,۳۰	۸۴,۶۰	۷۷,۱۰	۶۹,۶۰	۶۹,۶۰	CRZ
۵۰,۱,۱۵	۴۷۱,۹۶	۲۳۶,۹۳	۲۲۶,۹۸	۸۱,۴۰	۸۱,۹۰	۷۳,۶۰	۷۱,۵۰	۷۱,۵۰	UWX
۵۰,۹,۲۳	۴۴۷,۹۶	۲۲۳,۱۷	۳۰۳,۸۷	۸۲,۱۰	۸۲,۲۰	۷۹,۸۰	۷۱,۵۰	۷۱,۵۰	UWY

ادامہ جدول ۳. نتایج شاخص رند و زمان اجر برای دو الگوریتم ارائه شده.

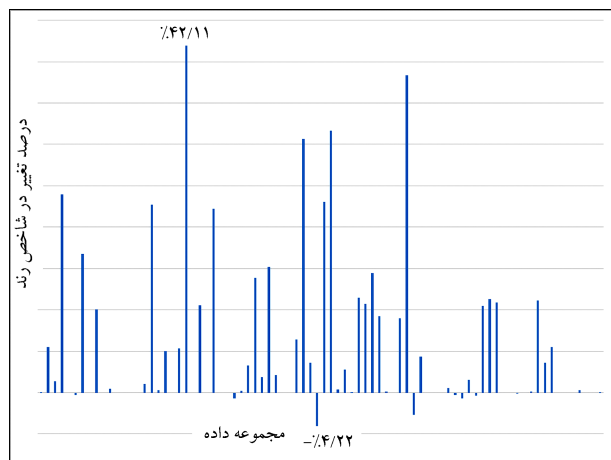
الگوریتم دوم	زمان اجرا (ثانیہ)				شاخص رند (%)				مجموعه داده	
	الگوریتم اول		الگوریتم سوم		الگوریتم اول		الگوریتم سوم			
	وضعیت دوم	وضعیت اول	وضعیت دوم	وضعیت اول	وضعیت دوم	وضعیت اول	وضعیت دوم	وضعیت اول		
۵۸۹,۵۳	۴۶۰,۵۵	۲۳۰,۶۵	۳۰۹,۹۶	۸۱,۹۰	۸۱,۹۰	۸۲,۳۰	۷۹,۹۰	۷۹,۹۰	UWZ	
۲,۷۸	۲,۱۴	۱,۳۵	۱,۱۵	۷۵,۶۰	۷۱,۴۰	۷۵,۸۰	۷۴,۱۰	۷۴,۱۰	LIV	
۲,۰۲	۱,۵۹	۱,۰۵	۰,۹۲	۵۱,۱۰	۴۹,۷۰	۴۹,۹۰	۴۹,۷۰	۴۹,۷۰	TO ۲	
۴,۱۵	۳,۱۹	۲,۵۷	۲,۳۹	۳۰,۶۰	۲۹,۶۰	۳۰,۶۰	۳۰,۶۰	۳۰,۶۰	DIA	
۱,۶	۱,۴۴	۱,۰۵	۱,۰۲	۶۹,۵۰	۶۹,۲۰	۷۳,۸۰	۷۲,۱۰	۷۲,۱۰	FAF	
۴۰,۴۵	۲۷,۴۷	۱۸,۸۶	۱۹,۶۳	۸۹,۲۰	۸۹,۶۰	۸۹,۹۰	۸۹,۹۰	۸۹,۹۰	SYM	
۴۸۱,۲۲	۴۲۰,۳۷	۲۹۵,۰۱	۲۷۲,۷۷	۵۰,۰۰	۵۰,۱۰	۵۰,۰۰	۵۰,۰۰	۵۰,۰۰	YOG	
۱۲,۰۴	۸,۸۷	۵,۳۵	۴,۸۹	۷۳,۳۰	۷۱,۴۰	۶۲,۷۰	۶۷,۸۰	۶۷,۸۰	OSU	
۷,۱۳	۲,۴۹	۲,۰۵	۱,۶۸	۵۱,۴۰	۵۱,۵۰	۵۰,۲۰	۵۰,۱۰	۵۰,۱۰	HAM	
۲,۶۲	۱,۶۶	۱,۲۳	۱,۱۲	۷۲,۰۰	۷۲,۰۰	۷۷,۰۰	۷۷,۰۰	۷۷,۰۰	MEA	
۶,۴۴	۵,۴۸	۴,۲۹	۳,۷۸	۷۱,۴۰	۷۲,۰۰	۷۱,۶۰	۶۴,۷۰	۶۴,۷۰	FIS	
۱,۵۲	۳,۵۹	۱,۱۵	۱,۰۴	۶۳,۸۰	۶۳,۸۰	۶۵,۵۰	۶۵,۶۰	۶۵,۶۰	BEE	
۱۱۱۹,۴۹	۹۹۲,۹۸	۱۰۴۸,۸۶	۷۹۶,۰۲	۵۰,۰۰	۵۰,۰۰	۵۰,۲۰	۵۰,۲۰	۵۰,۲۰	FOA	
۹۵۸,۵۸	۸۰۷,۴۳	۶۹۴,۹۴	۶۵۹,۷۴	۵۰,۰۰	۵۰,۰۰	۵۰,۰۰	۵۰,۰۰	۵۰,۰۰	FOB	
۳,۱۴	۲,۵	۲,۰۷	۱,۶۷	۴۹,۸۰	۵۰,۰۰	۵۱,۴۰	۵۱,۴۰	۵۱,۴۰	SHS	
۱۵۶	۱۲۴	۱۱۱	۹۸	۶۸,۲۸	۶۷,۸۰	۶۵,۴۲	۶۴,۳۴	۶۴,۳۴	متوسط	
۱,۱۶	۱,۲۷	۰,۸۲	۰,۸۷	۵۰,۹۰	۵۱,۷۰	۵۶,۹۰	۵۵,۴۰	۵۵,۴۰	BFL	
۱,۲	۱,۵۸	۰,۷۷	۰,۷۶	۵۳,۳۰	۴۸,۸۰	۴۹,۲۰	۴۸,۹۰	۴۸,۹۰	BIR	
۱۰,۰۶	۹,۸	۷,۵۶	۶,۹۴	۵۲,۳۰	۵۲,۴۰	۵۶,۸۰	۵۶,۸۰	۵۶,۸۰	EAR	
۱,۹۷	۱,۶۳	۱,۱۹	۱,۴۴	۵۰,۵۰	۵۰,۶۰	۵۱,۷۰	۵۱,۷۰	۵۱,۷۰	HER	
۶۸,۸	۵۳,۳	۳۶,۹	۳۶,۲۱	۹۴,۸۰	۹۶,۱۰	۸۴,۴۰	۸۳,۵۰	۸۳,۵۰	SHA	
۲,۳۶	۱,۶۴	۱,۰۶	۱,۱۴	۸۰,۸۰	۸۶,۰۰	۸۶,۱۰	۸۸,۷۰	۸۸,۷۰	OLI	
۱,۸۵	۲,۳۳	۱,۴	۱,۲۶	۶۱,۳۰	۶۲,۳۰	۵۹,۵۰	۶۰,۳۰	۶۰,۳۰	CAR	
۲,۱۸	۱,۷۷	۱,۳۷	۱,۲۳	۶۰,۰۰	۵۰,۴۰	۵۸,۵۰	۵۷,۹۰	۵۷,۹۰	LI ۲	
۱۴,۲	۱۲,۴۷	۱۰,۴۴	۱۰,۵۲	۵۰,۴۰	۵۰,۳۰	۴۹,۹۰	۴۹,۹۰	۴۹,۹۰	COM	
۳۸,۶۹	۲۷,۳۷	۲۲,۰۱	۲۱,۱۹	۵۲,۲۰	۵۰,۹۰	۵۴,۲۰	۵۴,۱۰	۵۴,۱۰	LAR	
۳۵,۷۸	۲۷,۱۸	۲۲,۸۴	۲۱,۶	۵۵,۲۰	۵۴,۹۰	۴۵,۵۰	۴۵,۸۰	۴۵,۸۰	REF	
۳۷,۳۵	۲۹,۱۶	۲۲,۶۴	۲۲,۸	۵۵,۲۰	۵۵,۰۰	۴۰,۲۰	۴۰,۳۰	۴۰,۳۰	SCR	
۳۸,۹	۳۱,۰۱	۲۳,۲۷	۲۲,۶۲	۴۳,۰۰	۴۶,۶۰	۳۴,۳۰	۳۳,۸۰	۳۳,۸۰	SMA	
۹۹۲,۱۸	۶۳۰,۷۴	۵۵۹,۳۷	۵۳۲,۸۱	۹۴,۶۰	۹۵,۱۰	۸۵,۴۰	۸۶,۷۰	۸۶,۷۰	NO ۱	
۹۸,۰۵۲	۹۴۴,۱۹	۴۹۱,۲۶	۵۰۴,۸۸	۹۵,۶۰	۹۵,۹۰	۹۱,۱۰	۹۱,۳۰	۹۱,۳۰	NO ۲	
۱۲,۹	۶,۰۸	۵,۱۵	۵,۷۱	۶۳,۵۰	۶۳,۰۰	۵۹,۶۰	۶۲,۷۰	۶۲,۷۰	WOR	
۸,۷	۵,۹۸	۴,۱۱	۴,۷۹	۴۹,۸۰	۴۹,۳۰	۴۹,۹۰	۴۹,۷۰	۴۹,۷۰	WOT	
۱۷۵۳,۹۲	۱۱۸۰,۰۲	۹۰۷,۴۹	۸۶۵,۹۸	۸۵,۶۰	۸۶,۳۰	۸۵,۹۰	۸۷,۶۰	۸۷,۶۰	UWA	
۵۰۹,۰۶	۲۳۶,۲۱	۲۵۳,۱۷	۲۴۰	۹۳,۹۰	۹۲,۲۰	۹۰,۲۰	۹۰,۳۰	۹۰,۳۰	MAL	
۴۳۲,۷۵	۲۳۴,۱۲	۲۷۷,۲۸	۲۸۱,۷	۹۲,۶۰	۹۲,۰۰	۹۰,۱۰	۹۰,۱۰	۹۰,۱۰	PHO	
۲۵,۶۴	۱۶,۵۱	۱۴,۸۷	۱۵,۷۹	۶۷,۱۰	۶۷,۱۰	۳۹,۴۰	۳۶,۶۰	۳۶,۶۰	HAP	
۲۶۲,۵۶	۱۹۰,۰۷	۱۷۰,۳۹	۱۶۷,۹۳	۶۳,۸۰	۶۶,۱۰	۶۱,۸۰	۶۱,۴۰	۶۱,۴۰	CIN	
۸۱,۸۸	۵۳,۸۵	۴۳,۱۸	۴۱,۹۷	۶۸,۰۰	۶۶,۳۰	۶۴,۶۰	۶۱,۷۰	۶۱,۷۰	INL	
۵۵۲,۰۱	۲۳۹,۸۲	۲۶۳,۸۹	۲۴۴,۶	۵۶,۱۰	۵۰,۰۰	۵۴,۵۰	۵۷,۱۰	۵۷,۱۰	HAN	
۲۲۴	۱۶۸	۱۳۵	۱۳۱	۶۶,۴۸	۶۵,۸۵	۶۲,۴۹	۶۲,۸۰	۶۲,۸۰	بلند	
۱۶۱	۱۳۱,۱۳	۹۸,۲۱	۹۰,۹۳	۶۷,۲	۶۷,۰۰	۶۳,۵۴	۶۳,۲۲	۶۳,۲۲	متوسط	

جدول ۴. نتایج الگوریتم‌های مختلف خوشبندی.

معیار	الگوریتم اول	الگوریتم دوم	وضعیت سوم
	وضعیت اول	وضعیت دوم	وضعیت سوم
میانگین شاخص رند (%)	۶۳/۲۲	۶۳/۵۴	۶۷/۰۰
انحراف از معیار	۰/۰۰۵۸	۰/۰۰۹۱	۰/۰۰۶۵
میانگین بهبود شاخص رند نسبت به حالت اولیه (%)	۵/۴۴	۵/۷۴	۲/۹۲
حداکثر مقدار بهبود در یک مجموعه داده (%)	۴۲/۱۱	۴۲/۱۲	۳۷/۱۳
حداکثر میزان تنزل شاخص رند در یک مجموعه داده (%)	-۴/۲۲	-۳/۰۰	-۱۰/۷۸
نسبت مجموعه داده با بهبود شاخص رند (%)	۵۹	۷۳	۵۵
نسبت مجموعه داده بدون تغییر شاخص رند (%)	۲۲	۱۰	۱۰
نسبت مجموعه داده با افت شاخص رند (%)	۹	۱۷	۲۵
نسبت ایجاد بهترین پاسخ در پژوهش‌های قبلی (%)	۱۸	۲۰	۳۲



شکل ۹. اختلاف میانگین شاخص رند الگوریتم اول و وضعیت دوم.



شکل ۸. اختلاف میانگین شاخص رند الگوریتم اول و وضعیت اول.

وضعیت سوم الگوریتم اول با پارامتر $m = 3$ و فاصله حداکثر برای الگوریتم خوشبندی سلسه مراتبی اجرا شده است. با توجه به اطلاعات جدول ۴ می‌توان مشاهده نمود که میانگین شاخص رند در 82 در مجموعه داده به 67 درصد رسیده است و نتایج اولیه خوشبندی در این وضعیت $2/69$ درصد به طور میانگین افزایش داشته است. همچنین در 30 درصد حالات، وضعیت سوم الگوریتم اول توانسته است بهترین شاخص رند را در بین ادیبات موضوع داشته باشد. براساس اطلاعات شکل ۱۰، وضعیت سوم الگوریتم اول در بهترین و بدترین حالت به ترتیب توانسته است 38 درصد نتیجه اولیه را بهبود بخشد و 10 درصد نتیجه اولیه را ضعیف تر نماید.

در انتها الگوریتم دوم با پارامتر $m = 2$ و فاصله حداکثر برای الگوریتم خوشبندی سلسه مراتبی اجرا شده است. در الگوریتم دوم همان‌گونه که قبلاً بیان شده است از سه میارهای داخلی به صورت هم‌زمان استفاده شده است. با توجه به اطلاعات جدول ۴ الگوریتم دوم توانسته است $2/9$ درصد به صورت میانگین دقت خوشبندی را افزایش دهد و دقت شاخص رند را به $67/25$ درصد برساند که بهترین نتیجه ممکن می‌باشد. در الگوریتم دوم نیز نتایج مربوط به 60 درصد مجموعه داده‌ها به طور میانگین بهبود داشته است و در 30 درصد موارد نیز تغییر نداشته است. همین‌طور در 32 درصد حالات، الگوریتم دوم توانسته است بهترین شاخص رند را در بین ادیبات موضوع داشته باشد. براساس اطلاعات شکل ۱۱ الگوریتم دوم در بهترین

در 30 درصد حالات، الگوریتم مورد اشاره توانسته است بهترین شاخص رند را در بین ادیبات موضوع داشته باشد. همچنین الگوریتم اول وضعیت اول توانسته است در 59 درصد مجموعه داده‌ها دقت خوشبندی را افزایش دهد و در 32 درصد نیز دقت خوشبندی تغییری نکرده است. با توجه به شکل ۸ در بهترین حالت، الگوریتم اول وضعیت اول می‌تواند تا 42 درصد شاخص رند را برای یک مجموعه داده بهبود دهد و از سوی دیگر می‌تواند نتایج اولیه خوشبندی را تا 4 درصد با افت روبرو نماید.

وضعیت دوم الگوریتم اول با مقدار پارامتر m اجرا شده است و مانند حالت قبل برای الگوریتم خوشبندی سلسه مراتبی، فاصله برابر با میانگین درنظر گرفته شده است. با توجه به اطلاعات جدول ۴ می‌توان مشاهده نمود که وضعیت دوم الگوریتم اول میانگین شاخص رند برابر با $63/54$ درصد می‌باشد و الگوریتم توانسته است دقت را در حدود $5/74$ درصد بهبود دهد. مانند حالت قبل وضعیت دوم الگوریتم اول در 20 درصد موارد بهترین جواب را داشته است و در 73 درصد موارد نیز جواب خوشبندی ابتدایی را بهبود داده است، همچنین در 10 درصد مجموعه داده نیز این مقدار بدون تغییر باقی مانده است. براساس اطلاعات شکل ۹ در وضعیت دوم الگوریتم اول در بهترین حالت خود توانسته است تا 43 درصد نتایج اولیه خوشبندی را برای یک مجموعه داده خاص افزایش دهد و از طرفی در بدترین حالت نیز باعث کاهش 3 درصدی شاخص رند برای یک مجموعه داده شده است.

جدول ۵. مقادیر P-value الگوریتم های ارائه شده.

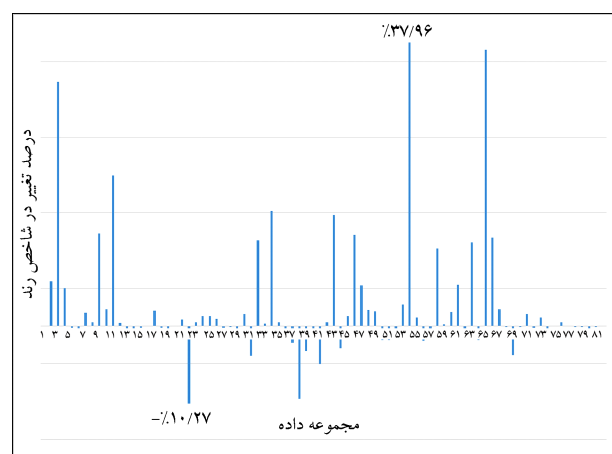
الگوریتم اول	وضعیت اول	وضعیت دوم	وضعیت سوم
--	--	۰,۰۸۸	الگوریتم اول
--	--	ووضعیت دوم	
--	۰,۰۰۲	۰,۰۰۱	الگوریتم اول
--	۰,۰۰۰	۰,۰۰۰	ووضعیت سوم
۰,۲۸۳	۰,۰۰۰	۰,۰۰۰	الگوریتم دوم

در جدول ۵ می توان مشاهده نمود که شاخص رند برای الگوریتم اول وضعیت دوم، از حالت اول با توجه به مقدار آلفای ۱۰ درصد بهتر می باشد. الگوریتم اول وضعیت سوم با توجه به مقدار آلفای ۵ درصد از هر دو الگوریتم اول وضعیت اول و دوم با توجه به آزمون بهتر می باشد و دارای شاخص رند بهتری است. الگوریتم دوم با توجه به مقدار P-value به دست آمده و در سطح آلفای ۵ درصد از حالت اول و دوم الگوریتم اول بهتر می باشد اما در مورد مقایسه الگوریتم دوم و الگوریتم اول وضعیت سوم با توجه به مقدار p-value که برابر با ۰,۲۸۳ می باشد از لحاظ آماری مساوی بودن شاخص رند برای این دو وضعیت را نمی توان رد کرد. اما باید توجه داشت که میانگین شاخص رند برای الگوریتم دوم برابر با ۶۷,۲۵ و برای الگوریتم اول وضعیت سوم برابر با ۶۷ می باشد. همچنین با توجه به دیگر معیارها در جدول ۴ می توان مشاهده نمود که الگوریتم دوم می تواند از الگوریتم اول وضعیت سوم عملکرد بهتری را داشته باشد.

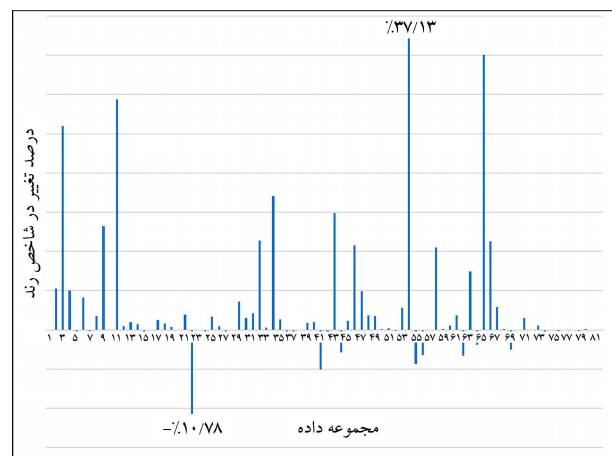
به منظور بررسی دقت و سرعت الگوریتم های ارائه شده، بهترین نتایج که مربوط به الگوریتم دوم می باشد، با چهار الگوریتم در ادبیات موضوع بررسی شده است. چهار الگوریتم مذکور عبارت اند از DD_{DTW} که در آن از ترکیب دو معیار فاصله به همراه الگوریتم سلسه مراتبی استفاده شده است.^[۱۲] الگوریتم KSC که در آن از الگوهای زمانی مشخص به منظور خوشبندی استفاده شده است.^[۲۷] و الگوریتم های توسعه داده شده اند.^[۲۲] جدول ۶ شاخص رند و زمان اجرای مربوط به چهار الگوریتم منتخب و همچنین الگوریتم دوم را نمایش می دهد. با توجه به اطلاعات جدول ۶ و جدول ۷ می توان مشاهده نمود که با توجه به مقدار P-value و آلفای ۵ درصد، الگوریتم ارائه شده عملکرد بهتری نسبت به این الگوریتم ها داشته است. در مورد مقایسه هزینه زمانی الگوریتم ارائه شده، دارای زمان اجرای بسیار کمتری می باشد. نتایج مشاهده نمود که الگوریتم ارائه شده، دارای اطلاعات جدول ۶ مشاهده جدول ۷ نیز این ادعا را تائید می نماید. همچنین با توجه به اطلاعات جدول ۶ مشاهده می شود که الگوریتم ارائه شده در ۳۰ مورد از ۸۲ مجموعه داده ها توانسته است بهترین نتایج بین چهار الگوریتم را داشته باشد.

۴. نتیجه گیری

در این مقاله یک رویکرد جدید به منظور خوشبندی سری های زمانی بر مبنای قطعه بندی و خوشبندی ترکیبی در ۵ گام ارائه شد. در این الگوریتم ها قطعاتی که می توانند نتایج بهتری را در خوشبندی داشته باشند با استفاده از یک یا چند معیار داخلی انتخاب و در مرحله نهایی با یکدیگر ترکیب می گردند. الگوریتم اول بر اساس معیارهای داخلی و مقدار پارامتر m در سه وضعیت اجرا شده است. الگوریتم دوم ارائه شده تا گام سوم کاملاً شبیه الگوریتم اول می باشد، اما در گام سوم به صورت



شکل ۱۰. اختلاف میانگین شاخص رند الگوریتم اول وضعیت سوم.



شکل ۱۱. اختلاف میانگین شاخص رند الگوریتم دوم.

حال توانسته است ۳۷ درصد نتیجه شاخص رند را برای یک مجموعه داده بهبود ببخشد و در بدترین حالت نیز نزدیک به ۱۰ درصد نتیجه اولیه را کاهش دهد. همچنین به منظور تحلیل دقیق تر نتایج به دست آمده مجموعه داده های مورد استفاده در سه کلاس با طول کوتاه (20m)، طول متوسط (25m تا 50m) و طول بلند (50m) تقسیم شده اند. با توجه به نتایج جدول ۳ می توان مشاهده نمود که در حالت طول کوتاه الگوریتم اول - حالت سوم می تواند نتایج بهتری را داشته باشد با این وجود در دو کلاس متوسط و بلند الگوریتم دوم ارائه شده توانسته است نتایج بهتری را در برداشته باشد.

با توجه به اطلاعات جدول ۴ می توان مشاهده نمود که انحراف از معیار ۱۰ تکرار برای هر دو الگوریتم ارائه شده بسیار ناچیز می باشد که این نشان دهنده پایداری خوب طرح ارائه شده است.

۲.۳. مقایسه الگوریتم ها

در این قسمت آزمون آماری به منظور بررسی بهترین الگوریتم در دو مرحله انجام گرفته است. در مرحله اول الگوریتم های ارائه شده با یکدیگر مقایسه شده اند و در گام بعدی، بهترین الگوریتم ارائه شده با چهار الگوریتم ادبیات در این حوزه مقایسه آماری شده است. یکی از روش های پیشنهاد شده به منظور ارزیابی الگوریتم های خوشبندی و طبقه بندی، استفاده از آزمون ویلانکسون می باشد.^[۲۸] با توجه به مقدار P-value

جدول ۶. مقایسه شاخص رند و زمان اجرای الگوریتم دوم با چهار الگوریتم منتخب.

زمان اجراء							شاخص رند (%)							مجموعہ دادہ الگوریتم	
KSC	DD _{DTW}	TS ³ C _{MV}	TS ³ C _{CH}	الگوریتم دوم	KSC	DD _{DTW}	TS ³ C _{MV}	TS ³ C _{CH}	الگوریتم دوم	KSC	DD _{DTW}	TS ³ C _{MV}	TS ³ C _{CH}	الگوریتم دوم	
۱۷۶۶۷	۱۰۴۲۸۵	۱۵۰۳	۱۴۷۸	۲۲,۸۵	۶۶	۹۲	۹۴	۹۴	۹۵	۹۵	۹۲	۹۲	۹۲	W۵۰	
۵۳۷۴	۲۲۲۲۱	۹۰۴	۸۸۷	۱۱,۵۶	۹۵	۶۸	۹۲	۹۲	۹۲	۹۲	۹۰	۹۰	۹۰	ADI	
۸۴	۴۶۰۳	۳۶۲	۳۶۱	۱,۸۹	۶۳	۳۵	۶۳	۶۲	۶۲	۶۲	۶۰	۶۰	۶۰	ARR	
۶۳	۱۲۴۷	۱۸۸	۱۸۸	۱,۵۲	۷۱	۵۸	۶۸	۶۸	۶۸	۶۸	۶۴	۶۴	۶۴	BEE	
۲۱	۶۴۲	۱۳۶	۱۳۶	۱,۱۶	۵۰	۵۹	۴۹	۴۹	۴۹	۴۹	۵۱	۵۱	۵۱	BFL	
۱۹	۸۸۸	۱۱۷	۱۱۷	۱,۲۰	۵۴	۵۰	۴۹	۴۹	۴۹	۴۹	۵۳	۵۳	۵۳	BIR	
۱۴۲	۸۳۷۱	۳۹۲	۳۹۲	۱,۸۵	۶۸	۵۰	۶۵	۶۵	۶۵	۶۵	۶۱	۶۱	۶۱	CAR	
۵۸۴	۲۲۸۳۰	۹۷۸	۹۷۶	۱۰,۹۴	۵۶	۷۸	۶۷	۶۷	۶۷	۶۷	۶۶	۶۶	۶۶	CBF	
۲۶۲۳	۷۶۳۵۸۷	۶۶۰۱	۶۵۰۶	۲۸۱,۷۲	۵۳	۴۰	۴۷	۴۹	۴۹	۴۹	۵۳	۵۳	۵۳	CHL	
۲۷۷۷۲	۷۶۳۵۸۷	۱۱۶۰۳	۱۱۶۴۸	۲۶۲,۵۶	۶۹	۵۶	۶۴	۶۴	۶۴	۶۴	۶۴	۶۴	۶۴	CIN	
۱۰	۳۸۵	۹۸	۹۸	۰,۸۶	۷۵	۴۹	۵۱	۵۱	۵۱	۵۱	۷۹	۷۹	۷۹	COF	
۴۱۳	۲۱۰۱۱۲	۲۷۰۰	۲۶۹۹	۱۴,۲۰	۵۰	۵۰	۵۱	۵۱	۵۱	۵۱	۵۰	۵۰	۵۰	COM	
۴۳۰۶	۸۲۹۷۰	۱۷۱۵	۱۷۰۸	۱۲,۷۹	۴۱	۷۸	۸۵	۸۵	۸۵	۸۵	۸۳	۸۳	۸۳	CRX	
۴۴۸۸	۸۲۷۱۰	۱۷۰۹	۱۷۰۲	۱۷,۲۶	۵۳	۶۹	۸۴	۸۴	۸۴	۸۴	۸۴	۸۴	۸۴	CRY	
۳۸۰۷	۷۸۸۵۳	۱۶۸۷	۱۶۸۰	۱۵,۷۰	۴۱	۷۱	۸۵	۸۵	۸۵	۸۵	۸۴	۸۴	۸۴	CRZ	
۳۰۳	۲۰۴۲۳	۶۲۴	۶۲۳	۴,۱۵	۶۶	۳۰	۷۲	۷۲	۷۲	۷۲	۳۱	۳۱	۳۱	DIA	
۸۳	۳۰۹۱	۳۱۴	۳۱۲	۳,۶۴	۷۲	۷۱	۶۰	۶۰	۶۰	۶۰	۷۳	۷۳	۷۳	DPA	
۴۵	۸۰۳۶	۴۸۷	۴۸۴	۷,۱۳	۵۰	۵۳	۵۱	۵۱	۵۱	۵۱	۵۴	۵۴	۵۴	DPC	
۱۹۴	۳۲۲۲۱	۳۰۶	۳۰۳	۳,۳۲	۶۶	۸۶	۶۶	۶۶	۶۶	۶۶	۸۸	۸۸	۸۸	DPT	
۳۰۸	۹۲۲۶۲	۲۲۴۷	۲۲۴۶	۱۰,۰۶	۶۲	۵۴	۵۳	۵۳	۵۳	۵۳	۵۲	۵۲	۵۲	EAR	
۱۸	۶۵۱	۱۲۲	۱۲۲	۱,۰۵	۶۱	۵۴	۵۰	۵۰	۵۰	۵۰	۶۲	۶۲	۶۲	EC2	
۱۶۲۱۴	۷۳۶۰۶۵	۵۰۸۸	۵۰۱۹	۳۲۸,۳۳	۵۹	۸۹	۶۰	۶۰	۶۰	۶۰	۷۴	۷۴	۷۴	EC5	
۱۳۶	۱۹۰۷۸	۹۴۵	۹۴۲	۱۰,۵۵	۸۱	۵۰	۵۰	۵۰	۵۰	۵۰	۵۰	۵۰	۵۰	EFC	
۵۲۲۶	۷۶۳۵۸۷	۱۸۹۳	۱۸۷۶	۶۳,۱۰	۳۰	۶۰	۸۵	۸۵	۸۵	۸۵	۸۳	۸۳	۸۳	FAA	
۹۰	۲۴۴۹	۲۷۰	۲۷۰	۱,۶۰	۳۸	۵۵	۵۷	۵۷	۵۷	۵۷	۶۹	۶۹	۶۹	FAF	
۱۲۶۵	۴۲۷۰۷	۹۳۲	۹۳۰	۶,۴۴	۷۹	۱۸	۶۴	۶۴	۶۴	۶۴	۷۱	۷۱	۷۱	FIS	
۳۶۸۲۳	۷۶۳۵۸۷	۱۶۳۱۶	۱۶۲۶۵	۱۱۱۹,۴۹	۵۰	۵۴	۵۱	۵۲	۵۲	۵۲	۵۰	۵۰	۵۰	FOA	
۲۸۶۳۷	۷۶۳۵۸۷	۱۲۲۲۲	۱۲۱۸۷	۹۵۸,۵۸	۵۰	۵۰	۵۰	۵۰	۵۰	۵۰	۵۰	۵۰	۵۰	FOB	
۱۰	۲۰۰۹	۱۳۴	۱۳۴	۱,۶۰	۵۱	۵۰	۵۴	۵۴	۵۴	۵۴	۵۴	۵۴	۵۴	GUN	
۱۵۲	۱۴۰۳۹	۵۵۸	۵۵۷	۷,۱۳	۵۳	۵۰	۵۲	۵۲	۵۲	۵۲	۵۱	۵۱	۵۱	HAM	
۳۴۰۵۲	۷۶۳۵۸۷	۲۰۴۰۸	۲۰۴۰۴	۵۵۲,۰۱	۶۹	۵۵	۵۵	۵۵	۵۵	۵۵	۵۶	۵۶	۵۶	HAN	
۳۸۸۱	۷۶۳۵۸۷	۲۲۰۳	۲۲۰۲	۲۵,۶۴	۶۹	۳۹	۶۰	۶۰	۶۰	۶۰	۶۷	۶۷	۶۷	HAP	
۳۸	۷۴۷۵	۲۷۳	۲۷۳	۱,۹۷	۵۰	۵۱	۵۰	۵۰	۵۰	۵۰	۵۰	۵۰	۵۰	HER	
۱۱۲۲۴	۷۶۳۵۸۷	۵۶۰۰	۵۵۹۸	۸۱,۸۸	۷۴	۵۴	۷۱	۷۱	۷۱	۷۱	۶۸	۶۸	۶۸	INL	
۱۰۴۷۳	۴۷۴۹۰۵	۲۶۸۵	۳۶۶۱	۱۱۸,۸۷	۶۹	۵۵	۸۱	۸۱	۸۱	۸۱	۸۷	۸۷	۸۷	INS	
۲۰	۱۲۲۲۳	۲۴۶	۲۴۲	۷,۴۰	۶۴	۵۱	۵۰	۵۰	۵۰	۵۰	۵۱	۵۱	۵۱	ITA	
۷۱۱	۳۶۹۳۷۹	۳۹۰۸	۳۹۰۶	۳۸,۶۹	۴۱	۲۴	۵۵	۵۵	۵۵	۵۵	۵۲	۵۲	۵۲	LAR	
۱۲۸	۹۴۷۸	۵۴۴	۵۴۳	۲,۱۸	۵۰	۵۰	۵۴	۵۴	۵۴	۵۴	۶۰	۶۰	۶۰	LI۲	
۱۸۰	۳۱۲۵	۳۲۴	۳۲۲	۲,۷۸	۵۹	۶۰	۷۵	۷۵	۷۵	۷۵	۷۶	۷۶	۷۶	LI۷	
۱۸۳۸۸	۷۶۳۵۸۷	۱۴۵۳۰	۱۴۵۱۰	۵۰۹,۰۶	۹۲	۹۳	۸۰	۸۰	۸۰	۸۰	۹۴	۹۴	۹۴	MAL	
۸۶	۴۷۱۸	۲۷۹	۲۷۹	۲,۶۲	۷۶	۷۷	۴۰	۴۰	۴۰	۴۰	۷۲	۷۲	۷۲	MEA	
۱۰۶۲	۱۹۹۵۴	۶۵۱	۶۴۶	۲۱,۵۵	۴۷	۶۴	۶۵	۶۵	۶۵	۶۵	۶۳	۶۳	۶۳	MED	
۷۰	۴۰۸۶	۲۵۱	۲۵۰	۴,۹۲	۷۳	۷۳	۵۶	۵۶	۵۶	۵۶	۷۳	۷۳	۷۳	MPA	

ادامه جدول ۶. مقایسه شاخص رند و زمان اجرای الگوریتم دوم با چهار الگوریتم منتخب.

زمان اجرا						شاخص رند (%)					مجموعه داده	
KSC	DD _{DTW}	TS ³ C _{MV}	TS ³ C _{CH}	الگوریتم دوم	KSC	DD _{DTW}	TS ³ C _{MV}	TS ³ C _{CH}	الگوریتم دوم	مجموعه داده	الگوریتم دوم	
۶۵	۹۳۰۶	۳۹۶	۳۹۵	۸,۷۳	۵۰	۵۰	۵۱	۵۱	۵۰	MPC		
۲۰۴	۳۲۱۹	۲۸۹	۲۸۶	۴,۸۷	۸۱	۸۰	۸۲	۷۴	۸۴	MPT		
۴۹۶	۲۰۴۵۶	۷۲۱	۷۱۷	۱۷,۴۸	۵۸	۵۰	۵۰	۵۰	۶۲	MOT		
۲۱۸۶۰	۷۶۳۵۸۷	۱۷۲۲۶	۱۷۱۱۵	۹۹۲,۱۸	۹۵	۷۰	۹۵	۹۴	۹۵	NO۱		
۲۰۸۴۱۶	۷۶۳۵۸۷	۱۳۶۷۶	۱۳۵۹۴	۹۸۰,۵۲	۹۷	۸۵	۹۵	۹۵	۹۶	NO۲		
۶۶	۲۲۴۴	۱۳۹	۱۳۹	۲,۳۶	۸۵	۷۶	۷۷	۷۷	۸۶	OLI		
۶۷۰	۶۰۷۶۵	۱۱۰	۱۰۹۷	۱۲,۰۴	۲۹	۶۲	۷۳	۷۳	۷۳	OSU		
۲۰۰	۷۷۵۵۸	۱۵۱۵	۱۴۹۹	۷۷,۸۲	۵۱	۵۴	۵۱	۵۱	۵۴	PHA		
۳۶۴۷۰۰۳	۷۶۳۵۸۷	۱۵۵۲۵	۱۵۴۷۷	۴۳۲,۷۵	۵۱	۴۵	۹۳	۹۳	۹۳	PHO		
۵۳	۲۰۴۷	۱۴۹	۱۴۹	۲,۹۹	۹۲	۱۰۰	۸۰	۸۳	۹۴	PLA		
۸۲	۴۹۰۹	۲۳۶	۲۳۵	۵,۷۷	۷۶	۷۸	۷۶	۷۶	۷۹	PPA		
۳۲	۸۱۹۵	۴۲۱	۴۱۸	۸,۱۹	۵۳	۵۴	۵۶	۵۶	۵۲	PPC		
۲۲۱	۳۸۵۱	۳۲۱	۳۱۹	۵,۵۲	۸۱	۸۸	۷۸	۷۸	۷۹	PPT		
۹۰۰	۴۲۲۸۴۳	۳۹۷۲	۳۹۶۹	۳۵,۷۸	۳۹	۳۵	۵۴	۵۶	۵۵	REF		
۱۳۵۸	۳۵۰۱۰۹	۴۰۲۴	۴۰۲۲	۳۷,۳۵	۴۵	۳۵	۵۳	۵۳	۵۵	SCR		
۱۱۱	۱۳۸۷۹	۱۰۰۶	۱۰۰۵	۳,۱۴	۵۰	۵۰	۹۹	۹۹	۵۰	SHS		
۵۱۱۰۷	۵۴۶۵۸۵	۲۷۷۷	۳۷۳۸	۶۸,۸۰	۶۳	۸۴	۹۷	۹۷	۹۵	SHA		
۱۴۸۷	۳۷۹۸۶۹	۴۰۵۰	۴۰۴۸	۳۸,۹۰	۵۴	۳۴	۵۹	۵۹	۴۳	SMA		
۷۴	۲۷۷۰	۳۵۰	۳۴۹	۴,۶۶	۷۵	۵۰	۵۲	۵۱	۵۰	SO۱		
۱۴۹	۹۰۴۰	۶۱۰	۶۰۷	۹,۹۰	۶۶	۵۳	۵۳	۶۰	۶۴	SO۲		
۳۶۶	۹۲۰۵۲	۱۳۳۴	۱۳۳۱	۲۴,۰۱	۵۰	۵۰	۵۲	۵۰	۵۰	STR		
۱۶۲۰	۳۶۰۹۲	۹۹۶	۹۸۵	۲۳,۴۲	۶۳	۳۵	۸۸	۸۸	۸۷	SWE		
۲۸۶۷	۲۴۸۴۵۴	۲۷۷۹	۲۷۷۴	۴۰,۴۵	۶۰	۸۹	۸۱	۸۱	۸۹	SYM		
۲۳۵	۲۱۱۲	۳۶۵	۳۶۱	۵,۶۲	۳۸	۸۸	۷۸	۷۸	۸۲	SYN		
۱۲۱	۸۳۱۵	۵۲۸	۵۲۷	۳,۰۶	۵۳	۵۱	۵۱	۵۱	۵۰	TO۱		
۷۹	۵۰۲۵۸	۲۳۹	۲۳۸	۲,۰۲	۵۳	۶۷	۵۰	۵۰	۵۱	TO۲		
۱۱۴	۴۹۸۶	۲۲۵	۲۲۵	۳,۲۴	۷۲	۸۷	۸۴	۸۴	۷۵	TRA		
۴۶۰۰۲	۵۸۱۰۵۰	۶۵۳۲	۶۴۶۵	۳۶۱,۴۶	۴۶	۸۵	۶۴	۶۴	۶۳	TWP		
۲۴۰	۱۱۹۰۳	۷۰۷	۷۰۳	۱۴,۰۳	۵۴	۵۰	۶۴	۶۴	۵۰	TWE		
۴۷۴۲۲۳	۷۶۳۵۸۷	۷۵۲۳	۷۴۷۰	۵۰۱,۱۵	۵۱	۸۰	۷۵	۷۸	۸۱	UWZ		
۴۸۷۵۱	۷۶۳۵۸۷	۹۰۱۴	۸۹۵۱	۵۰۹,۲۳	۵۴	۸۲	۷۶	۷۸	۸۲	UWY		
۴۷۵۵۴	۷۶۳۵۸۷	۷۳۱۵	۷۲۶۴	۵۸۹,۵۳	۵۴	۷۴	۸۰	۸۰	۸۲	UWZ		
۱۶۷۰۷۹	۷۶۳۵۸۷	۱۸۷۹۹	۱۸۷۵۴	۱۷۵۳,۹۲	۴۵	۵۹	۷۶	۷۶	۸۶	UWA		
۱۶۸۲	۷۶۳۵۸۷	۴۱۵۸	۴۰۸۷	۱۵۷۱,۷۶	۵۹	۵۳	۶۶	۵۰	۵۳	WAF		
۳۱	۱۲۷۳	۱۰۵	۱۰۵	۵,۳۷	۵۹	۵۰	۵۰	۵۷	۵۰	WIN		
۸۲۱۲	۹۸۲۲۳	۱۴۷۶	۱۴۶۳	۵۴,۰۸	۵۰	۸۷	۸۷	۸۷	۸۹	WOS		
۱۰۸۵	۸۲۵۲۷	۱۶۰۶	۱۶۰۵	۱۲,۹۰	۵۳	۶۲	۵۸	۶۰	۶۳	WOR		
۶۷۶	۷۷۴۹۷	۱۶۲۱	۱۶۲۰	۸,۷۰	۵۰	۵۰	۵۱	۵۱	۵۰	WOT		
۴۸۴۸	۷۶۳۵۸۷	۷۹۸۳	۷۹۵۹	۴۸۱,۲۲	۵۰	۵۰	۵۰	۵۱	۵۰	YOG		
۱۷۳۶۵	۲۳۶۴۶۷	۳۲۸۴	۳۲۷۰	۱۶۲	۶۰,۲۶	۶۰,۵۵	۶۵,۶۸	۶۶,۱۰	۶۷,۲۵	توسط		

هم زمان از سه معیار داخلی به منظور انتخاب $3m$ برچسب استفاده می‌گردد و در ۸۲ گام پنجم این برچسب‌ها مجدداً به منظور نتیجه نهایی با یکدیگر ترکیب می‌گردند. شاخص رند در نتیجه ۱۰ تکرار برای سه وضعیت مختلف الگوریتم اول و یک

جدول ۷. نتایج آزمون آماری الگوریتم ارائه شده با چهار الگوریتم منتخب ادبیات در دو شاخص رند و زمان اجرا.

TS^3C_{CH}	TS^3C_{MV}	KSC	DD_{DTW}	معیار مقایسه	الگوریتم
.۰۱۰۲۱	.۰۱۰۱۸	.۰۰۰۰۲	.۰۰۰۰	شاخص رند	p-value
.۰۰۰۰	.۰۰۰۰	.۰۰۰۰	.۰۰۰۰	زمان	p-value

مقایسه شده کارایی بیشتری دارد. با توجه به دقت بالا و هزینه زمانی بسیار ناچیز طرح ارائه شده جهت خوشبندی، الگوریتم موردنظر می‌تواند به راحتی در مواردی مانند تشخیص الگوهای مصرف انواع حامل‌های ارزی، تشخیص الگوهای رفتاری بیماری‌های واگیردار و غیره مورد استفاده قرار گیرد. همچنین با توجه به اینکه یکی از کاربردهای اصلی خوشبندی استفاده در پیش‌بینی سری‌های زمانی می‌باشد. با افزایش دقت خوشبندی در زمان کم می‌توان عملاً دقت پیش‌بینی این نوع داده‌ها را نیز افزایش داد.

۵. مطالعات آینده

طرح ارائه شده دارای پارامترها و مشخصات مختلفی می‌باشد که در این مطالعه صرفاً حالت‌ها اندکی از آن مورد بررسی و تحلیل قرار گرفته‌است. در مطالعات آینده می‌توان انواع دیگر الگوریتم‌های خوشبندی، معیارهای درونی دیگر و همچنین پارامترهای ورودی دیگر را نیز مورد بررسی و تحلیل قرارداد. همچنین با توجه به کارایی بالای الگوریتم در زمان نسبتاً اندک از الگوریتم فوق می‌توان به منظور کشف الگوهای مختلف در زمین‌های ارزی و درمان نیز استفاده عملی نمود.

داشته باشد. همچنین عملکرد الگوریتم دوم به لحاظ شاخص رند و متوسط زمان اجرای الگوریتم با ۴ الگوریتم TS^3C_{CH} , TS^3C_{MV} , KSC, DD_{DTW} مقایسه شده است.

در مطالعات اخیر سعی بر آن شده است باستفاده از تعریف معیارهای جدید فاصله و با استفاده از الگوریتم‌های خاص، کارایی خوشبندی افزایش یابد. اما با این وجود نتایج مطالعات اخیر نشان داده است که استفاده از این روش‌ها علی‌رغم بهبود دقت خوشبندی می‌تواند هزینه زمانی بسیار بالایی داشته باشد. به عنوان مثال در چهار الگوریتم موجود در ادبیات حتی می‌تواند به عددی نزدیک به ۳۶ هزار مثایه برسد که عملکرد استفاده از این الگوریتم‌ها در بخش صنعت و خدمات را ناممکن می‌نماید. در طرح ارائه شده، سعی بر آن است علاوه بر افزایش دقت خوشبندی این کار با حداقل هزینه زمانی انجام پذیرد. با توجه به نتایج ارائه شده در جدول ۶ به خوبی می‌توان مشاهده نمود که طرح ارائه شده علاوه بر افزایش دقت خوشبندی می‌تواند این امر را در کمترین زمان ممکن انجام دهد. همچنین نشان داده شده است که طرح ارائه شده در ۳۲٪ از مجموعه داده‌های مورد استفاده توانسته است بهترین دقت را در بین الگوریتم‌های موجود داشته باشد. نتایج آزمون آماری به خوبی بیانگر این است که الگوریتم دوم ارائه شده به لحاظ شاخص رند و همچنین زمان اجرا از همه الگوریتم‌های

پابلوشت‌ها

1. Dynamic Time Warping
2. Longest Common Subsequence
3. Rand Index
4. Weighted Dynamic Time Warping
5. Matrix Profile
6. Maximum Shifting Correlation Distance
7. Derivative Dynamic Time Warping

منابع (References)

1. Maleki, M., Bidram, H. and Wraith, D., 2022. Robust clustering of COVID-19 cases across US counties using mixtures of asymmetric time series models with time varying and freely indexed covariates. *Journal of Applied Statistics*, 50(11), pp. 2648-2662.
2. Bair, E., 2013. Semi-supervised clustering methods. *Wiley Interdisciplinary Reviews: Computational Statistics*, 5(5), pp. 349-361. <https://doi.org/10.48550/arXiv.1307.0252>.
3. Dau, H.A., Begum, N. and Keogh, E., 2016. Semi-supervision dramatically improves time series clustering under dynamic time warping. *Proceedings of the 25th ACM International Conference on Information and Knowledge Management*, pp. 999-1008.
4. Alhusain, L. and Hafez, A.M., 2017. Cluster ensemble based on Random Forests for genetic data. *BioData Mining*, 10(1), p. 37. <https://doi.org/10.1186/s13040-017-0156-2>.
5. Ma, R. and Angryk, R., 2017. Distance and density clustering for time series data. *2017 IEEE International Conference on Data Mining Workshops (ICDMW)*, IEEE, pp. 25-32.

6. Mehrmolaei, S. and Keyvanpour, M.R., 2018. A comparative study on weighting-based clustering techniques: Time series data. *2018 8th Conference of AI & Robotics and 10th RoboCup Iranopen International Symposium (IRANOPEN)*, IEEE, pp. 65-72.
7. Tavakoli, N., Siami-Namini, S., Adl Khanghah, M., Mirza Soltani, F. and Siami Namin, A., 2020. An autoencoder-based deep learning approach for clustering time series data. *SN Applied Sciences*, 2(1), pp. 1-25. <https://doi.org/10.1007/s42452-020-2584-8>.
8. Lafabregue, B., Weber, J., Gancarski, P. and Forestier, G., 2022. End-to-end deep representation learning for time series clustering: A comparative study. *Data Mining and Knowledge Discovery*, 36(1), pp. 29-81. <https://doi.org/10.1007/s10618-021-00796-y>.
9. Zolhavarieh, S., Aghabozorgi, S. and Teh, Y.W., 2014. A review of subsequence time series clustering. *The Scientific World Journal*, 2014(1), pp. 1-19. <https://doi.org/10.1155/2014/312521>.
10. Ralanamahatana, C.A., Lin, J., Gunopulos, D., Keogh, E., Vlachos, M. and Das, G., 2005. *Mining Time Series Data*. Data Mining and Knowledge Discovery Handbook: Springer pp. 1069-1103. Springer, US.
11. Kamalzadeh, H., Ahmadi, A. and Mansour, S., 2020. Clustering time-series by a novel slope-based similarity measure considering particle swarm optimization. *Applied Soft Computing*, 96(1), p. 106701. <https://doi.org/10.1016/j.asoc.2020.106701>.
12. Soleimani, G. and Abessi, M., 2020. DLCSS: A new similarity measure for time series data mining. *Engineering Applications of Artificial Intelligence*, 92(1), p. 103664. <https://doi.org/10.1016/j.engappai.2020.103664>.
13. Luczak, M., 2016. Hierarchical clustering of time series data with parametric derivative dynamic time warping. *Expert Systems with Applications*, 62(1), pp. 116-130. <https://doi.org/10.1016/j.eswa.2016.06.012>.
14. Rokach, L. and Maimon, O., 2005. *Clustering Methods*. Data Mining and Knowledge Discovery Handbook: Springer, pp. 321-352.
15. Rahim Khan, M.A. and Zakarya, M., 2013. Longest common subsequence based algorithm for measuring similarity between time series: A new approach. *World Applied Sciences Journal*, 24(9), pp. 1192-1198. <https://doi.org/10.11648/j.ajdmkd.20190401.16>.
16. Wang, X., Yu, F., Pedrycz, W. and Wang, J., 2019. Hierarchical clustering of unequal-length time series with area-based shape distance. *Soft Computing*, 23(15), pp. 6331-6343. <https://doi.org/10.1007/s00500-018-3287-6>.
17. Chu, K.K.W. and Wong, M.H., 1999. Fast time-series searching with scaling and shifting. *Proceedings of the Eighteenth ACM SIGMOD-SIGACT-SIGART Symposium on Principles of Database Systems*, pp. 237-248.
18. Gharghabi, S., Imani, S., Bagnall, A., Darvishzadeh, A. and Keogh, E., 2018. Matrix profile xii: Mpdist: A novel time series distance measure to allow data mining in more challenging scenarios. *2018 IEEE International Conference on Data Mining (ICDM)*, IEEE, pp. 965-970.
19. Jiang, G., Wang, W. and Zhang, W., 2019. A novel distance measure for time series: Maximum shifting correlation distance. *Pattern Recognition Letters*, 117(1), pp. 58-65. <https://doi.org/10.1016/j.patrec.2018.11.013>.
20. Hong, D., Gu, Q. and Whitehouse, K., 2017. High-dimensional time series clustering via cross-predictability, *Artificial Intelligence and Statistics*, PMLR, pp. 642-651.
21. Górecki, T., 2018. Classification of time series using combination of DTW and LCSS dissimilarity measures. *Communications in Statistics-Simulation and Computation*, 47(1), pp. 263-276. <https://doi.org/10.1080/03610918.2017.1280829>.
22. Guijo-Rubio, D., Durán-Rosal, A.M., Gutiérrez, P.A., Troncoso, A. and Hervás-Martínez, C., 2020. Time-series clustering based on the characterization of segment typologies. *IEEE Transactions on Cybernetics*, 51(11), pp. 5409-5422. <https://doi.org/10.1109/tcyb.2019.2962584>.
23. Aghabozorgi, S., Ying Wah, T., Herawan, T., Jalab, H.A., Shaygan, M.A. and Jalali, A., 2014. A hybrid algorithm for clustering of time series data based on affinity search technique. *The Scientific World Journal*, 2014(1), pp. 1-12. <https://doi.org/10.1155/2014/562194>.
24. Zhang, X., Liu, J., Du, Y. and Lv, T., 2011. A novel clustering method on time series data. *Expert Systems with Applications*, 38(9), pp. 11891-11900. <https://doi.org/10.1016/j.eswa.2011.03.081>.
25. Manakova, N. and Tkachenko, V., 2020. Two-stage time-series clustering approach under reducing time cost requirement. *2020 IEEE 15th International Conference on Advanced Trends in Radioelectronics, Telecommunications and Computer Engineering (TCSET)*, IEEE, pp. 653-658.
26. Hyndman, R.J., Wang, E. and Laptev, N., 2015. Large-scale unusual time series detection, *2015 IEEE International Conference on Data Mining Workshop (ICDMW)*, IEEE, pp. 1616-1619.
27. Zou, Y., Donner, R.V., Marwan, N., Donges, J.F. and Kurths, J., 2019. Complex network approaches to non-linear time series analysis. *Physics Reports*, 787(1), pp. 1-97. <https://doi.org/10.1016/j.physrep.2018.10.005>.
28. Silva, V.F., Silva, M.E., Ribeiro, P. and Silva, F., 2021. Time series analysis via network science: Concepts and algorithms. *Wiley Interdisciplinary Reviews: Data Mining and Knowledge Discovery*, 11(3), p. e1404. <https://doi.org/10.1002/widm.1404>.
29. Ferreira, L.N. and Zhao, L., 2016. Time series clustering via community detection in networks. *Information Sciences*, 326(1), pp. 227-242. <https://doi.org/10.1016/j.ins.2015.07.046>.
30. Bonacina, F., Miele, E.S. and Corsini, A., 2020. Time series clustering: A complex network-based approach for feature selection in multi-sensor data. *Modelling*, 1(1), pp. 1-21. <https://doi.org/10.3390/modelling1010001>.
31. Koski, A., Juhola, M. and Meriste, M., 1995. Syntactic recognition of ECG signals by attributed finite automata. *Pattern Recognition*, 28(12), pp. 1927-1940. [https://doi.org/10.1016/0031-3203\(95\)00052-6](https://doi.org/10.1016/0031-3203(95)00052-6).
32. Keogh, E.J. and Pazzani, M.J., 1998. An enhanced representation of time series which allows fast and accurate classification, *Clustering and Relevance Feedback, Kdd*, 98, pp. 239-243.

33. Keogh, E., Chu, S., Hart, D. and Pazzani, M., 2004. Segmenting time series: A survey and novel approach. *Data Mining in Time Series Databases: World Scientific*, pp. 1-21.
34. Faloutsos, C., Ranganathan, M. and Manolopoulos, Y., 1994. Fast subsequence matching in time-series databases. *ACM Sigmod Record*, 23(2), pp. 419-429. <https://doi.org/10.1145/191843.191925>.
35. Keogh, E. and Ratanamahatana, C.A., 2005. Exact indexing of dynamic time warping. *Knowledge and Information Systems*, 7(3), pp. 358-386. <https://doi.org/10.1007/s10115-004-0154-9>.
36. Djukanovic, M., Raidl, G.R. and Blum, C., 2020. Finding longest common subsequences: New anytime A* search results. *Applied Soft Computing*, 95(1), p. 106499. <https://doi.org/10.1016/j.asoc.2020.106499>.
37. Paterson, M. and Dančík, V., 1994. Longest common subsequences, *International Symposium on Mathematical Foundations of Computer Science*, pp. 127-142.
38. Lin, R., King-lp, A. and Shim, H.S.S.K., 1995. Fast similarity search in the presence of noise, scaling, and translation in time-series databases, *Proceeding of the 21th International Conference on Very Large Data Bases*, Citeseer, pp. 490-501.
39. Vlachos, M., Kollios, G. and Gunopulos, D., 2002. Discovering similar multidimensional trajectories, *Proceedings 18th International Conference on Data Engineering*, pp. 673-684.
40. Boongoen, T. and Iam-On, N., 2018. Cluster ensembles: A survey of approaches with recent extensions and applications. *Computer Science Review*, 28(1), pp. 1-25. <https://doi.org/10.1016/j.cosrev.2018.01.003>.
41. Huang, D., Wang, C.-D. and Lai, J.-H., 2017. Locally weighted ensemble clustering. *IEEE Transactions on Cybernetics*, 48(5), pp. 1460-1473. <https://doi.org/10.1109/TCYB.2017.2702343>.
42. Liu, Y., Li, Z., Xiong, H., Gao, X. and Wu, J., 2010. Understanding of internal clustering validation measures, *2010 IEEE International Conference on Data Mining*, IEEE, pp. 911-916.
43. Dunn, J.C., 1974. Well-separated clusters and optimal fuzzy partitions. *Journal of Cybernetics*, 4(1), pp. 95-104. <https://doi.org/10.1080/01969727408546059>.
44. Caliński, T. and Harabasz, J., 1974. A dendrite method for cluster analysis. *Communications in Statistics-Theory and Methods*, 3(1), pp. 1-27. <https://doi.org/10.1080/03610917408548446>.
45. Dau, H.A., Bagnall, A., Kamgar, K., Yeh, C.-C. M., Zhu, Y., Gharghabi, S., Ratanamahatana, C.A., and Keogh, E., 2019. The UCR time series archive. *IEEE/CAA Journal of Automatica Sinica*, 6(6), pp. 1293-1305. <https://doi.org/10.1109/jas.2019.1911747>.
46. Demšar, J., 2006. Statistical comparisons of classifiers over multiple data sets. *The Journal of Machine Learning Research*, 7, pp. 1-30.
47. Yang, J. and Leskovec, J., 2011. Patterns of temporal variation in online media, *Proceedings of the Fourth ACM International Conference on Web Search and Data Mining*, pp. 177-186.